

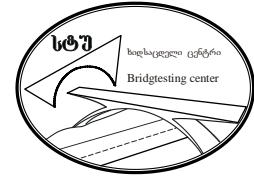
საქართველოს ფედერაციული უნივერსიტეტი
ს ი დ ს ა ც დ ე ლ ი ც ე ნ ტ რ ი

თბილისში მარშალ გელოვანის გამზირზე
ედ. ლილეულაზე არსებული სიდის
გამოკვლევა-გამოცდა





საქართველოს ტექნიკური უნივერსიტეტი
ს ი დ ს ა ც დ ე ლ ი ც ე ნ ტ რ ი



სტუ ადმინისტრაციის
ხელმძღვანელი, პროფ.

ქ. ქოქრაშვილი

"_____ " 2013 წ.

თბილისში მარშალ გელოვანის გამზირზე
ედ. დილგურაზე არსებული სიღის
გამოკვლევა-გამოცდა

სასწავლო-სამეცნიერო
ცენტრის ხელმძღვანელი

თ. ცვარიანი

შემსრულებლები

1. ო. ცვარიანი
ცენტრის ხელმძღვანელი, აკად. დოქტორი,
სამუშაოთა საერთო ხელმძღვანელობა, საგე-
ლე სამუშაოები, ანგარიშის ავტორი
2. გ. დათუკიშვილი
წამყ. მეც. მუშაკი, ტ.მ.კ., საველე სამუშაოები,
მონაცემთა დამუშავება, ანგარიშის ავტორი
3. ო. ჭურაძე
წამყ. მეც. მუშაკი, მეც. დოქტორი, მონაცემთა
დამუშავება
4. ი. სლოვინსკი
უფ. მეც. მუშაკი, ტ.მ.კ., მონაცემთა დამუშავება
5. პ. კობახიძე
მეც. მუშაკი, ტ.მ.კ., საველე სამუშაოები,
მონაცემთა დამუშავება, გრაფიკული მასალა
6. ზ. მეგრელიშვილი
მეც. მუშაკი, აკად. დოქტორი, საველე
სამუშაოები, მონაცემთა დამუშავება
7. უ. სტურუა
უფ. ინჟინერი, საველე სამუშაოები,
მონაცემთა დამუშავება
8. დ. შიოლაშვილი
ინჟინერი, საველე სამუშაოები
10. ო. ჯაფარიძე
ინჟინერი, მაგისტრანტი, გრაფიკული მასალა,
ანგარიშის გაფორმება
9. ო. პატარკაციშვილი
ინჟინერი, საველე სამუშაოები, გრაფიკული
მასალა
11. ზ. ტატიშვილი
ინჟინერი, საველე სამუშაოები, გრაფიკული
მასალა
12. დ. ბედენაშვილი
ინჟინერი, საველე სამუშაოები, გრაფიკული
მასალა

სარჩევი

შესავალი	4
1. ხიდის მოპლე აღჭრა	5
2. ხიდის გამოკვლევა	7
3. ხიდის მაღის ნაშენების სტატიკური გამოცდა	11
4. მაღის ნაშენის დინამიკური გამოცდა	20
5. მაღის ნაშენის დაძაბულ-დეფორმირებული მდგრადარაბის ანალიზი	22
5.1. საანგარიშო პროგრამული კომპლექსის LIRA აღწერა	22
5.2. მაღის ნაშენის დეფორმაციებზე გაანგარიშების შედეგები	23
5.3. მაღის ნაშენის კოჭის შემოწმება მზიდუნარიანობაზე	29
რეკომენდაციები და დასკვნები	32
ლიტერატურა	33
დ ა ნ ა რ თ მ ბ 0	34

შესავალი

წინამდებარე ანგარიში შესრულებულია საქართველოს ტექნიკურ უნივერსიტეტისა და თბილისის მერიის შორის 2013 წლის 24 ივნისს დადგებული ხელშეკრულებით გათვალისწინებული სამუშაოების ნაწილის რეალიზაციის ფარგლებში და მოიცავს ქ. თბილისში მარშალ გელოვანის გამზირზე მდ. დიღმურაზე არსებული ხიდის გამოკვლევა-გამოცდას.

ხიდის გამოკვლევა-გამოცდას საფუძვლად დაედო “დამკვეთთან”, ქ. თბილისის მერიასთან შეთანხმებული ტექნიკური დავალება.

გამოკვლევა-გამოცდის სამუშაოების მეთოდიკა დაფუძნებულია საქართველოს ტექნიკური უნივერსიტეტის ხიდსაცდელი ცენტრის სამოცწლიან გამოცდილებასა და მოქმედი ნორმატიული დოკუმენტების მოთხოვნებზე: «СНиП 2.05.03-84. Мосты и трубы. Нормы проектирования», «СНиП III-43-75. Мосты и трубы. Правила производства и приемки работ», «СНиП 3.06.07-86. Мосты и трубы. Правила обследований и испытаний», «ГОСТ 8829-94. Изделия строительные железобетонные и бетонные заводского изготовления. Методы испытания нагружением. Правила оценки прочности, жесткости и трещиностойкости», «ГОСТ 25192-82. Бетоны. Классификация и общие технические требования».

ხიდის გამოკვლევა-გამოცდის სამუშაოთა ორგანიზაციისა და შესრულების უზრუნველყოფაში აქტიური მონაწილეობა მიიღეს ქ. თბილისის მერიის სამსახურებმა, რომელთა თპერატიულმა ქმედებებმა ხელი შეუწყვეს სამუშაოთა დროულ და ხარისხიან შესრულებას.

1. ხიდის მოპლე აღწერა

ხიდი მდ. დიდმურაზე ქ. თბილისში განლაგებულია მარშალ გელოვანის გამზირზე, რომელიც წარმოადგენს ქ. თბილისში დასავლეთიდან შემომავალ ძირითად საავტომობილო მაგისტრალს.

ხიდი შედგება ორი განცალკევებული ნაგებობისაგან. ქალაქში შემომავალ მიმართულებაზე მდებარეობს 1957 წელს აგებული ხიდი. მაგისტრალის რეკონსტრუქციის პროცესში 1972 წელს მოხდა ძველი ხიდის გაგანიერება ბურჯების დაგრძელებითა და ახალი მალის ნაშენების დამატებით, რომლებზეც ხორციელდება მოძრაობა ქალაქიდან დასავლეთის მიმართულებით. ხიდის რეკონსტრუქციის პროექტი დამუშავდა საპროექტო ინსტიტუტის “თბილქალაქ-პროექტის” მიერ საავტომობილო გზის რეკონსტრუქციის პროექტის ფარგლებში.

საქართველოს ეროვნული არქივის ფონდებში არ არის შემონახული ხიდის მშენებლობისა და რეკონსტრუქციის საპროექტო და საშემსრულებლო სამშენებლო დოკუმენტაცია, რის გამოც ხიდის აღწერა შესრულებულია გამოკვლევის პროცესში შესრულებული აზომვითი სამუშაოების მონაცემთა საფუძველზე.

გაერთიანებული ხიდური ნაგებობაზე სავალი ნაწილის გაბარიტია გ-
10,8+3,0+10,8 ტროტუარების სიგანით 2,00 მ. თითოეული მიმართულების სამზოლიანი სავალი ნაწილი ერთმანეთისგან განცალკევებულია 3,0 მ სიგანის ამაღლებული კონსტრუქციის გამყოფი ზოლით, რომელიც წარმოადგენს რკინაბეტონის გობში მოქცეულ გრუნტის მასივს.

ხიდების სქემა ერთმანეთისგან განხსნავებულია: ძველი ხიდის სქემაა 8,45+22,16+9,00 მ, ხოლო ახალი ხიდისა 8,59+21,60+9,00 მ. ძველ ხიდში გამოყენებულია ჩვეულებრივი რკინაბეტონის T-ებრი კოჭები დიაფრაგმებით, ხიდის განივად 11 კარკასული არმირების მქონე კოჭით, ხოლო ახალი ხიდის მალის ნაშენები შედგენილია თითოეულ განაპირა მალში ხიდის განივად 8 ცალი T-ებრი ჩვეულებრივი რკინაბეტონის კოჭისაგან კარკასული არმირებით და შუა მალში ხიდის განივად 7 ცალი წინასწარ დაძაბული რკინაბეტონის კოჭისაგან. ახალი ხიდის მალის ნაშენის კოჭები ხიდის განივად ერთმანეთთან გაერთიანებულია კოჭების ფილებს შორის მოწყობილი გამონოლითების ნაკერით. ძველი ხიდის მალის ნაშენის კოჭები ერთმანეთთან დაკაშირებულია კოჭების ნახევარდიაფრაგმების გადაბმით ჩასატანებელ დეტალებზე ფოლადის კავშირის ელემენტების დადუღებით და ნაკერის დაბეტონებით. ძველი და ახალი ხიდის მალის ნაშენები ერთმანეთთან დაკავშირებლია განაპირა მეზობელ კოჭებზე მოწყობილი რკინაბეტონის ფილით, რომელიც ამაგე დროს წარმოადგენს სავალი ნაწილის გამყოფი ზოლის ფუძეს.

გამომდინარე ხიდის მშენებლობის დროიდან, ძველი ხიდისთვის დროებითი შეეული დატვირთვად უნდა ჩაითვალოს H-13, რაც წარმოადგენს 13 ტონიანი მანქანების კოლონას მასში ჩართული ერთი 16,9 ტონიანი ავტომობილით, და HK-80, ხოლო ახალი ხიდისთვის დროებითი მოძრავი დატვირთვაა H-30 და HK-80, სადაც H-30 წარმოადგენს 30 ტონიანი ავტომობილების კოლონას.

ხიდების სვადასხვა სქემამ გამოიწვია ახალი ხიდის მალის ნაშენებს შორის შუალედ ბურჯებზე ჩაძირული რიგელის გამოყენების აუცილებლობა.

ხიდის ბურჯები მასიური მონოლითური კონსტრუქციისაა. მათი მასიური მონოლითური საძირკვლები დაფუძნებულია ბურჯებივ ფუძეზე, რომელიც წარმოადგენს ალევროლიტებისა და ქვიშაქვების მორიგეობას სიმტკიცით ცალდერძა კუმშვაზე $R_c=7,0$ მგპა (70 კგ/სმ²).

მდინარის ხარჯი 1%-იანი უზრინვევოფით შეადგენს 50,2 მ³/წმ, ხოლო 10%-იანი უზრუნველყოფით – 26,7 მ³/წმ.

2. ხიდის გამოკვლევა

საქართველოს ტექნიკური უნივერსიტეტის ხიდსაცდელი ცენტრის სპეციალისტების ჯგუფმა 2013 წლის აგვისტოს ოვეში შეასრულა მარშალ გელოვანის გამზირზე მდ. დილმურაზე მდებარე ხიდური გადასასვლელის ნაგებობების გამოკლევა.

გამოკვლევის ჩატარებამდე მოძიებულ იქნა აღნიშნული ხიდური გადასასვლელის შესახებ ტექნიკური დოკუმენტაცია.

გამოკვლევის პროცესში შესრულდა ხიდური გადასასვლელის ტოპოგეოდეზიური აგეგმვა, ნაგებობის კონსტრუქციების აზომვა და მათი ვიზუალური და ინსტრუმენტული შემოწმება.

შემოწმების შედეგად დადგინდა ნაგებობის კონსტრუქციებში არსებული რიგი დეფექტები და დაზიანებები, რომელთაგან ნაწილი მნიშნელოვან გავლენას ახდენს ხიდის სიმტკიცესა და ხანძღვისა ზე. არსებითად ეს ეხება ძველი ხიდის კონსტრუქციებს, რომელთა რესურსი პრაქტიკულად ამოწურვის ზღვარზეა. კერძოდ ადსანიშნავია შემდეგი დეფექტები და დაზიანებები.

– ახალი ხიდის მალის ნაშენის კოჭები დამაკმაყოფილებელ მდგომარეობაშია, მხოლოდ ზოგ ადგილას მცირე ფართობზე აღინიშნება გამოტუტვის ნიშნები;

– დაზიანებულია ახალი ხიდის მეექვეს კოჭის (მალის ნაშენის ქვემომხრის ნაპირიდან) ფილის დამცავი შრე, ალაგ-ალაგ ფილის არმატურა გაშიშვლებულია და განვითარებულია კოროზიული პროცესი;

– ხიდის სავალი ნაწილისა და ტროტუარების გამყოფი თვალამრიდების სიმაღლე არ შეესაბამება თანამედროვე მოთხოვნებს და საჭიროა მათი შეცვლა 75 სმ სიმაღლის კონსტრუქციით;

– ხიდის სავალი ნაწილი საჭიროებს რეაბილიტაციას ჰიდროიზოლაციის ფენის შეცვლით;

– ხიდის ტროტუარების მოჯირების დამაგრება მორყეულია, რაც ქმნის მოაჯირების გადაქცევის საშიშროებას და საჭიროა მოაჯირების ლითონის კონსტრუქციების მალის ნაშენის კონსტრუქციასთან ჩამაგრების გაძლიერება;

– ძველი ხიდის პირველ (მარჯვენა) მცირე მალის ნაშენში ზემომხრის (დინების მიხედვით) პირველ და მეორე კოჭებს შორის მოწყობილი გამონოლითების ნაკერი ძლიერ არის დაზიანებული, ნაკერის ბეტონი რიგ ადგილებში დაშლილია;

– იმავე კოჭების ფილებზე აღინიშნება მრავლობითი გამოტუტვის ლაქები დიდ ფართობებზე, რაც მიუთითებს ბეტონის კოროზიის მაღალ ხარისხზე;

– სენებულ კოჭებს შორის გამაერთიანებელი დიაფრაგმები დაზიანებულია და არმატურა კოროდირებს, ისევე როგორც დიაფრაგმების შეერთების ფოლადის ელემენტები, ხოლო რამდენიმე ადგილზე შეერთების ელემენტები ნაწილობრივ დაკარგულია;

– დაზიანებულია კოჭების ძირის ბეტონი, დამცავი შრე მრავალ ადგილას ავარდნილია და არმატურა განიცდის ძლიერ კოროზიას არმატურის დეროების განივგვეთის ფართობის საგრძნობი შემცირებით;

- ძველი ხიდის მალის ნაშენისა და ბურჯების ბეტონი დაბალი ხარისხისაა, გიბრირების უქონლობის ან არასაკმარისი ხარისხის შედეგად ბეტონში მრავლად აღინიშნება დიდი ზომის ნიუარები, ამასთან ბურჯების ბეტონში დორფის ნაცვლად გამოყენებულია მდინარის ხრეში;
- არ ხერხდება საყრდენი ნაწილების მდგომარეობის ფიქსაცია, რის გამოც შეუძლებელია მათი მუშაობის ავკარგიანობის შეფასება;
- განსაკუთრებით ავარიულ მდგომარეობაშია ძველი ხიდის შუა, დიდი მალის დიაფრაგმებიანი კოჭები;
- კოჭების დამაკავშირებელი ნახევარდიაფრაგმები ზემომხრის კოჭებს შორის ურთიერთის მიმართ აცდენილია 3-7 სმ-ზე როგორ თარაზული, ისე შვეული მიმართულებით;
- ზემომხრის ორ კოჭს შორის დიაფრაგმები და მიმდებარე ზონები კოჭებში განიცდის ძლიერ გამოტუტვას, ისევე როგორც კოჭების ფილა;
- მარცხენა ბურჯის თავის ბეტონი მეორე კოჭის დაყრდნობის ზონაში ატკებილია, არმატურა გაშიშვლებულია და კოროდირებს;
- მარცხენა (N3) შუალედი ბურჯის ზემომხრის მხრიდან (დინების მიხედვით) ბურჯის ტანის ზედა ნაწილში აღინიშნება დიდი ზომის შვეული ბზარი;
- ბურჯების კედლებზე აღინიშნება წყლის ჩამონადენების აშკარა კვალი;
- ინსტრუმენტული გამოკვლევით ძველი ხიდის მალის ნაშენის კოჭების ბეტონის კლასი სიმტკიცეზე კუმშვის მიხედვით არ აღემატება B7,5-B10 (ბეტონის მარკა 100-150);
- ხიდის კოჭების კედლების დამცავი შრის სისქე ნორმაზე ნაკლებია და ზოგ ადგილას არ აღემატება 10 მმ-ს, რის გამოც კოჭების მუშა არმატურა მთელ ხიდზე მეტ-ნაკლებად განიცდის კოროზიას;
- ზუსტად ანალოგიური მდგომარეობაა დანარჩენი ორი მალის ნაშენის დახასიათების თვალსაზრისით;
- ხიდის ტროტუარების გარეთა მხარეს დანალექ გრუნტზე იზრდება მრავალწლიანი მცენარეული საფარი, რომელიც ხელს უშლის ქვეითთა გადადგილებას;
- ქვემომხრის ტროტუარის ბეტონის პარაპეტის ბლოკი დაკარგულია;
- ტროტუარის სხმული თუჯის მოაჯირები რიგ ადგილებში კოროდირებულია და მათზე საღებავის ფენა დატანილია გაწმენდის გარეშე;
- ზემომხრის ტროტუარის რიგი სექციები დაზიანებულია და შეცვლილია არასტანდარტული ელემენტებით;
- მოაჯირების სახელურები რამდენიმე ადგილას დაზიანებულია და შექმულია უანგისგან;
- ხიდქვეშა სივრცე ძლევ არის დანაგვიანებული როგორც საყოფახოვრებო ნარჩენებით, ასევე სამშენებლო ნაგვის ელემენტებით, მდინარის კალაპოტში მრავლადაა ბურჯოვანი მცენარეები და მცირე ზომის ხეები, ყოველივე ეს წყალდიდობისას ხიდის ხვრეტის ჩახერგვის საშიშროებას ქმნის, რაც შეიძლება გახდეს მიზეზი ხიდის ბურჯების საძირკვლის გამორეცხვისა და ამის შედეგად ბურჯების მიერ მდგრადობის დაკარგვის შედეგად ხიდის დანგრევისა;

– ქედა ბიეფში არსებული ჭავლმიმმართველი კედელის შიდა ზედაპირი უსწორმასწოროა, ხოლო მდინარის ჭავლი უშუალოდ ეჯახება მარცხენა ნაპირის დამცავ კედელს და იწვევს მისი ძირის გამორეცხვას;

– სანაპირო ბურჯებს არა აქვთ ფრთხი, რის გამოც არ არის უზრუნველყოფილი სავალი ნაწილის ყრილის შეუდლება ბურჯთან და მისი მდგრადობა;

– ხიდის მისასვლელი ყრილების კონუსები არ არის ფორმირებული, დანაგვიანებულია და მათზე ფორმირებულია ხშირი ბუჩქოვანი და მცირე ზომის ხეების მცენარეული საფარი;

ხიდი-გზაგამტარის მზიდი კონსტრუქციების საერთო შეფასების მიზნით რკინაბეტონში არმატურის კოროზიის აღმომჩენ და დამდგენი ხელსაწყოთი DIGITAL HALF-GELL TEST KIT DHC 04. დადგენილი იქნა წინასწარ დაძაბული რკინაბეტონის კოჭის კარგასის არმატურის კოროზიის ხარისხი (პროცენტებში).

რკინაბეტონის კონსტრუქციებში არმატურის დამცველი ფენის სისქის გამზომი ხელსაწყოთი COLEPBAND REBAR CHECKER, გაზომილი იქნა რკინაბეტონის კოჭის კარგასის არმატურის დამცველი ფენის სისქე.

გაზომვების დაწყებამდე მალის ნაშენის კოჭზე ცარცით მოინიშნა ეწ. „ეპრანი“ (გაზომვების ველი) 1-1,5 მ-ის ფარგლებში, რომელიც დაიყო პირობით 20-25 სმ-ის უბნებად. ამ უბნებზე მოხდა ანათვლების აღება. ანათვლების აღების შემდეგ მიღებულია რიცხვითი ველი.

რიცხვით ველის კვანძებში ფიქსირდება მალის ნაშენის კოჭში კარგასის არმატურის კოროზიული პროცესების მიერ გამოწვეული ბეტონის ზედაპირის ფიზიკო-ქიმიური თვისებების ცვლილების შედეგად დამყარებული ელექტროპოტენციალის მნიშვნელობა, რომელთა შესაბამისად ხელსაწყოს მწარმოებლის მიერ მოცემული გრაფიკის მიხედვით ფასდება მალის ნაშენის კოჭში კარგასის არმატურის კოროზიულობის პროცენტული სიდიდე. გამოთვლები მიახლოებითია.

რიცხვით ველში 25X25 სმ. უბნების ცენტრში განლაგებული რიცხვები გვიჩვენებს მალის ნაშენის კოჭის კარგასის არმატურის ბეტონის დამცავი ფენის სისქეს მიღიმეტრებში.

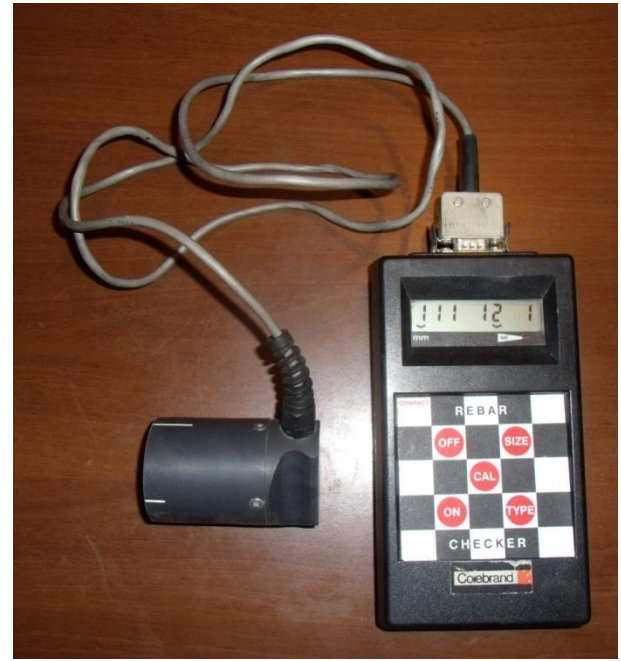
რიცხვითი ველიდან კარგად ჩანს, რომ ძველი ხიდის მალის ნაშენის კოჭში ჟანგვითი პროცესები ინტენსიურად ($>5\%$) მიმდინარეობს. ხოლო ახალი ხიდის კოჭში კოროზიული პროცესი სუსტად არის გამოხატული და ძირითადად მიმდინარეობს იქ სადაც ხიდის სავალი ნაწილის ჰიდროზოლაცია ატარებს წყალს ხიდის სავალი ნაწილიდან.

ახალი ხიდის მალის ნაშენების წინასწარ დაძაბული და ჩვეულებრივი რკინაბეტონის კოჭების კარგასის არმატურის დამცველი ფენის სისქე ნორმის ფარგლებშია. ძველი ხიდის მალის ნაშენების კოჭებსა და დიაფრაგმებში დამცავი

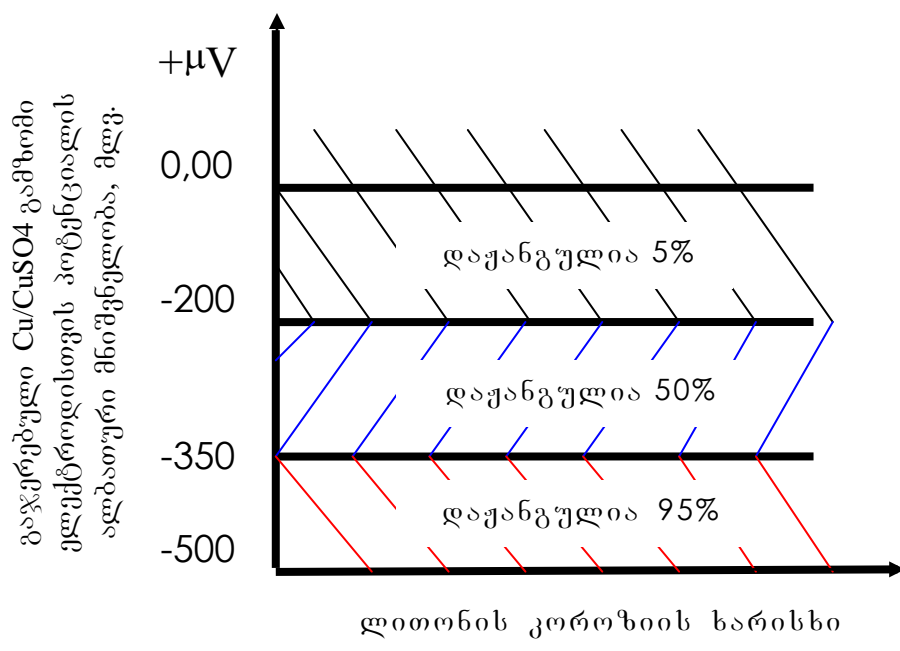
ვენის სისქე რიგ შემთხვევებში არ აღემატება 10 მმ, რაც ამ ტიპის კონსტრუქციებისთვის დადგენილ სიდიდეზე ნაკლებია.



ფოტო 1. DIGITAL HALF-GELL TEST KIT DHC 04



ფოტო 2. COLEBRAND REBAR CHECKER



ნახ. 2.1. არმატურის ლითონის კოროზიის შეფასების დიაგრამა

3. სიღის მალის ნაშენების სტატიკური გამოცდა

საქართველოს ტექნიკური უნივერსიტეტის ხიდსაცდელი ცენტრის სპეციალისტების ჯგუფმა 2013 წლის 14 აგვისტოს ჩატარა მდ. დიღრმურაზე მარშალ გელოვანის გამზირზე მდებარე ხიდის მალის ნაშენების სტატიკური გამოცდა დროებით შევულ დატვირთვაზე.

გამოცდის პროცესს ესწრებოდნენ ქ. თბილისის მერიის წარმომადგენლები: გ. ყოჩიაშვილი, თლ. ჩალაძე, მ. ბუბულაშვილი, გ. გოგია, გ. კელენჯერიძე, პ. ხაჩიძე, ი. ჯაფარიძე, აგრეთვე შპს “თბილსერვის ჯგუფის” დირექტორი თ. შიოლაშვილი, დირექტორის მოადგილე ლ. დავითური, შპს “ლაბორატორიის” დირექტორი პ. ქოქრაშვილი და განყოფ. უფროსი ზ. ზურაბიანი.

ხიდის კონსტრუქციების გამოკვლევის მასალების ანალიზის საფუძველზე და “დამკვეთოან”, ქ. თბილისის მერიასან შეთანხმებით მიღებულ იქნა გადაწყვეტილება, რომ სტატიკურ გამოცდას დაქვემდებარებულიყო მხოლოდ ქვემომრის ხიდის მალის ნაშენი.

ზემომხრის ხიდის გამოცდა, რომელიც აიგო 1953 წლის ნორმების მიხედვით და გათვალისწინებული იყო H-13 დატვირთვაზე, გამომდინარე ნაგებობის კონსტრუქციების მდგომარეობიდან (ბეტონის დაბალი ხარისხი, ბეტონის დრვევა მნიშვნელოვან ფართობებზე, მუშა არმატურის ძლიერი კოროზია), ჩაითვალა არამიზანშეწონილად, რადგან გამოცდა ნორმებით გათვალისწინებული სიდიდის საცდელი დატვირთვით დაკავშირებული იყო ნაგებობის დრვევის შესაძლებლობის მაღალ რისკთან, რაც ხიდის მდებარეობისა და მნიშვნელობის გათვალისწინებით დაუშვებელია.

გამოცდის პროცესში დროებითი დატვირთვის სახით გამოყენებული იყო დატვირთული სატვირთო ავტომობილები (ცხრ. 3.1.) საერთო წონით 155.35 ტ.

მალის ნაშენის გამოცდის პროცესში დატვირთული ავტომობილები გამოსაცდელ მალის ნაშენზე განლაგდა მალის შუაში ავტოტრანსპორტის სავალი ნაწილის გრძივი დერმის მიმართ სიმეტრიულად. გამოცდის პროცესში მალის ნაშენის დატვირთვა საცდელი დატვირთვით შესრულდა ორ-ორჯერ, რადგან გაზომვების შედეგების მიხედვით დაფიქსირდა ჩაღუნვების სიდიდეების კარგი დამთხვევა.

კონსტრუქციის გამოცდისას იზომებოდა საცდელი დატვირთვის ზემოქმედებისას მალის ნაშენის შუა კვეთის ჩაღუნვა. გაზომვებისთვის გამოყენებული იყო მაქსიმოვის ტიპის მექანიკური ჩაღუნვმზომები დანაყოფის ფასით 0,1 მმ, რომლებიც განლაგებული იყო მალის ნაშენის შემადგენელი ყოველი კოჭის შუა კვეთის ქვეშ.

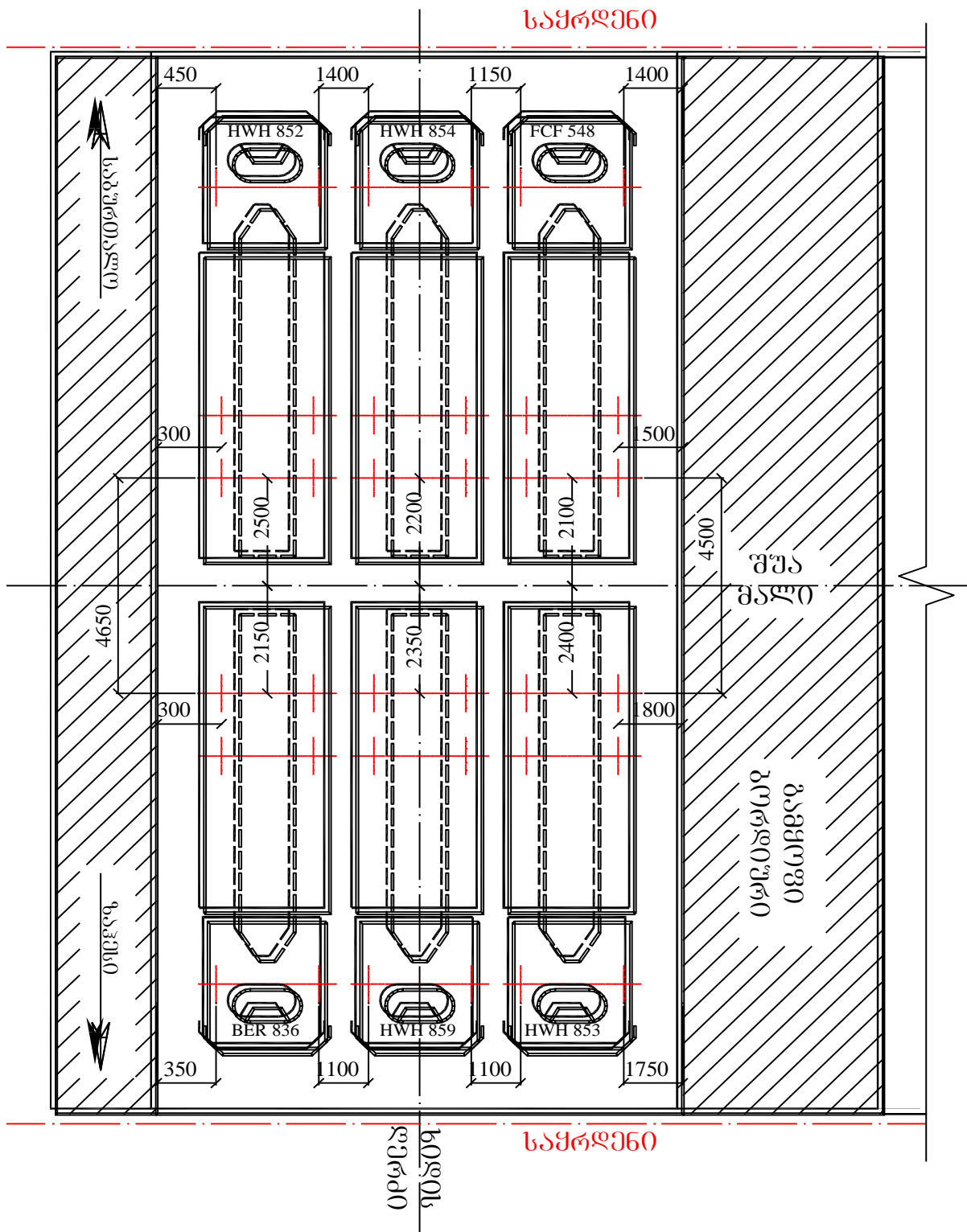
გამოცდის პროცესში საცდელი დატვირთვის განლაგება, საცდელი ავტომობილების ჩვენებით, მოყვანილია ნახაზებზე (ნახ. 3.1 – 3.6). გამოცდის შედეგები მოყვანილია ცხრილებში (ცხრილი 3.2 და 3.3) და ნახაზებზე (ნახ. 3.7, 3.8).

საცდელი დატვირთვის ქვეშ მალის ნაშენების ჩაღუნვების სიდიდეების ანალიზი აჩვენებს კონსტრუქციის ნორმალურ მუშაობას დროებითი დატვირთვის ზემოქმედებისას.

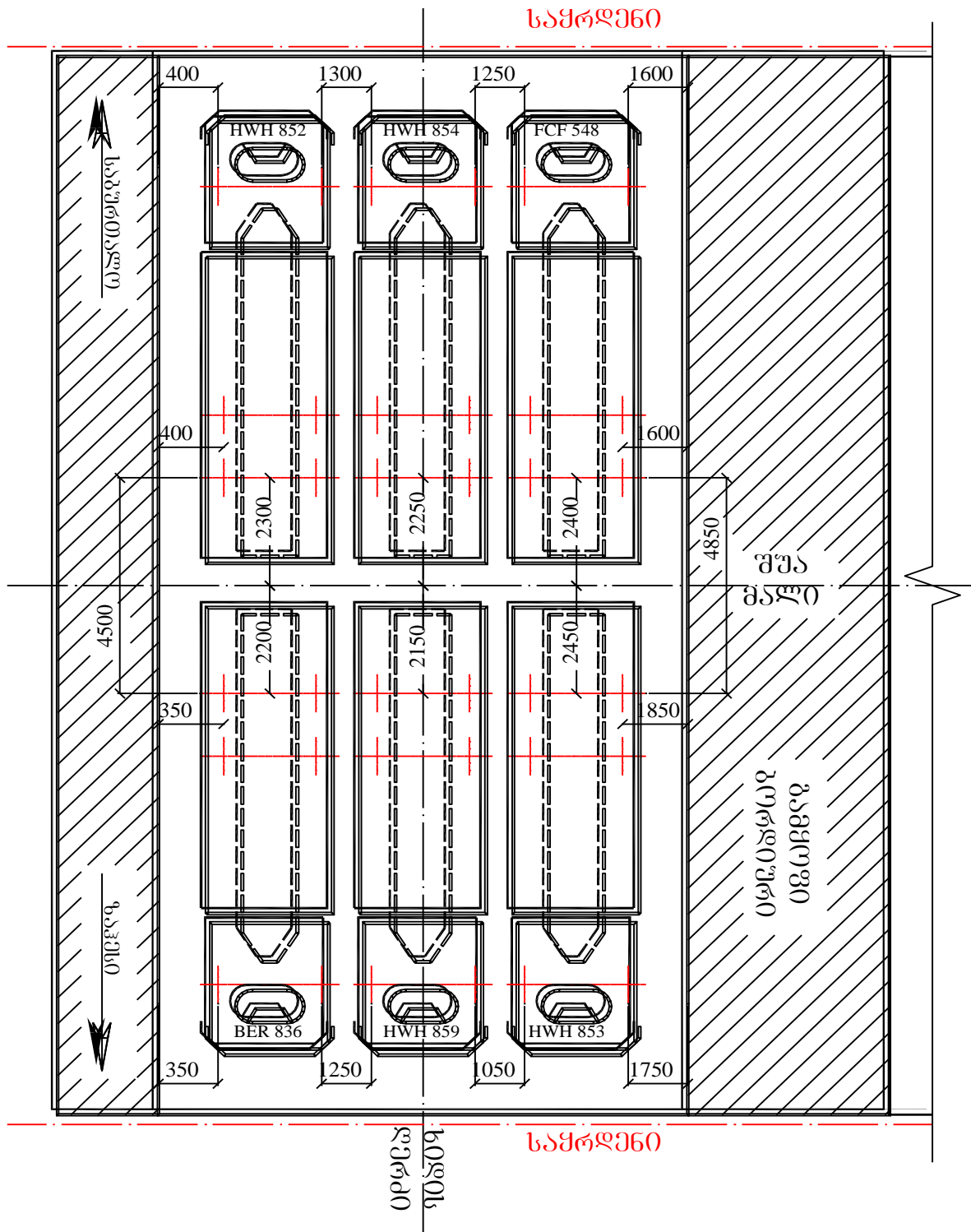
ცხრილი 3.1.

საცდელი დატვირთვის ავტომობილუბის წონები

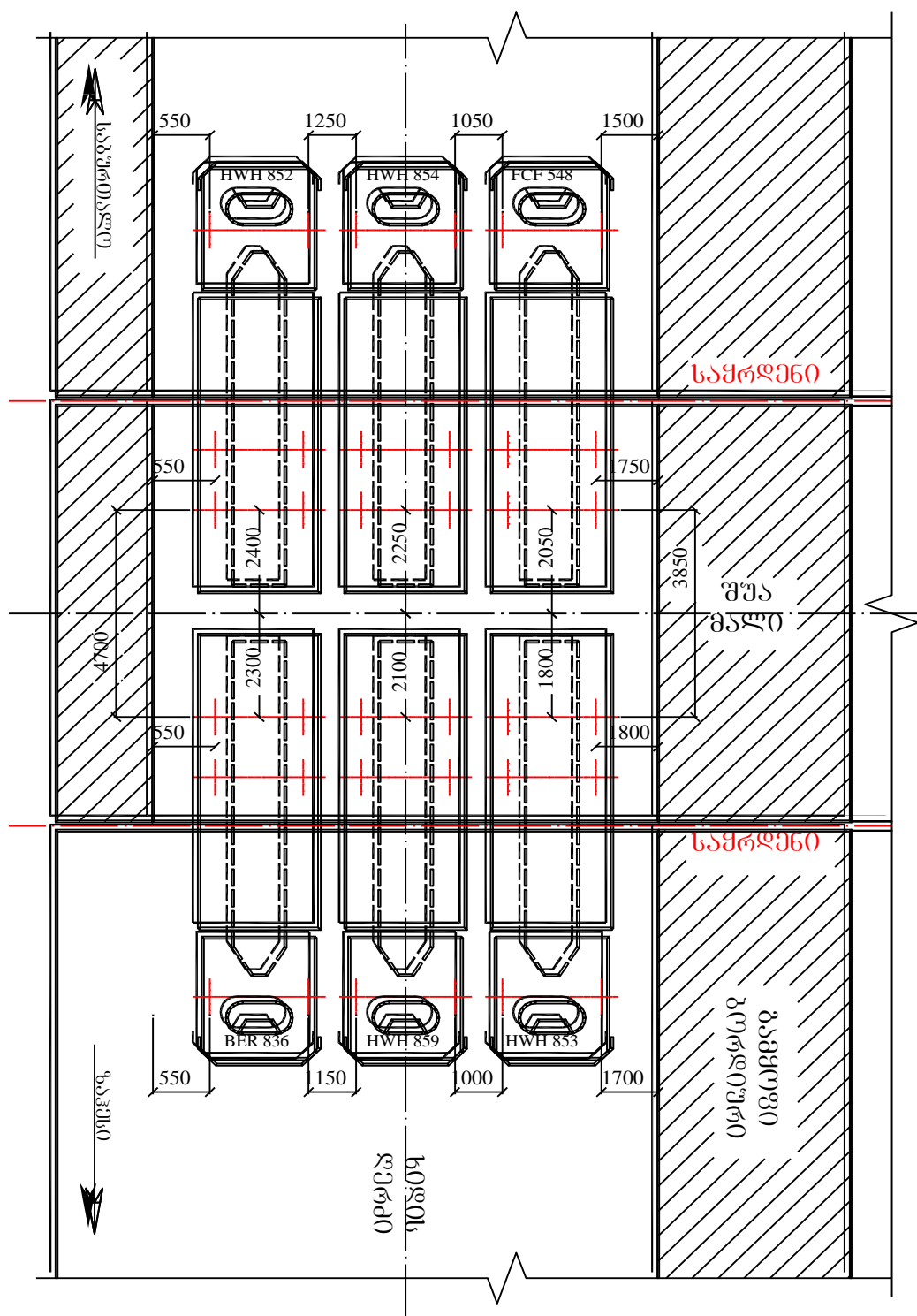
№	დატვირთვის ტიპი		წონა, ტ	
	მოდელი	ძარის ნომერი	დერძებზე მოსული წონა	ჯამი
1		FCF-548	1.	5.90
			2.	12.60
			3.	8.30
2		HWH-852	1.	5.621
			2.	12.009
			3.	7.92
3		HWH-853	1.	5.962
			2.	12.737
			3.	8.401
4		HWH-854	1.	5.50
			2.	11.75
			3.	7.75
5		HWH-859	1.	5.555
			2.	11.868
			3.	7.827
6		BER-836	1.	5.643
			2.	11.868
			3.	7.739



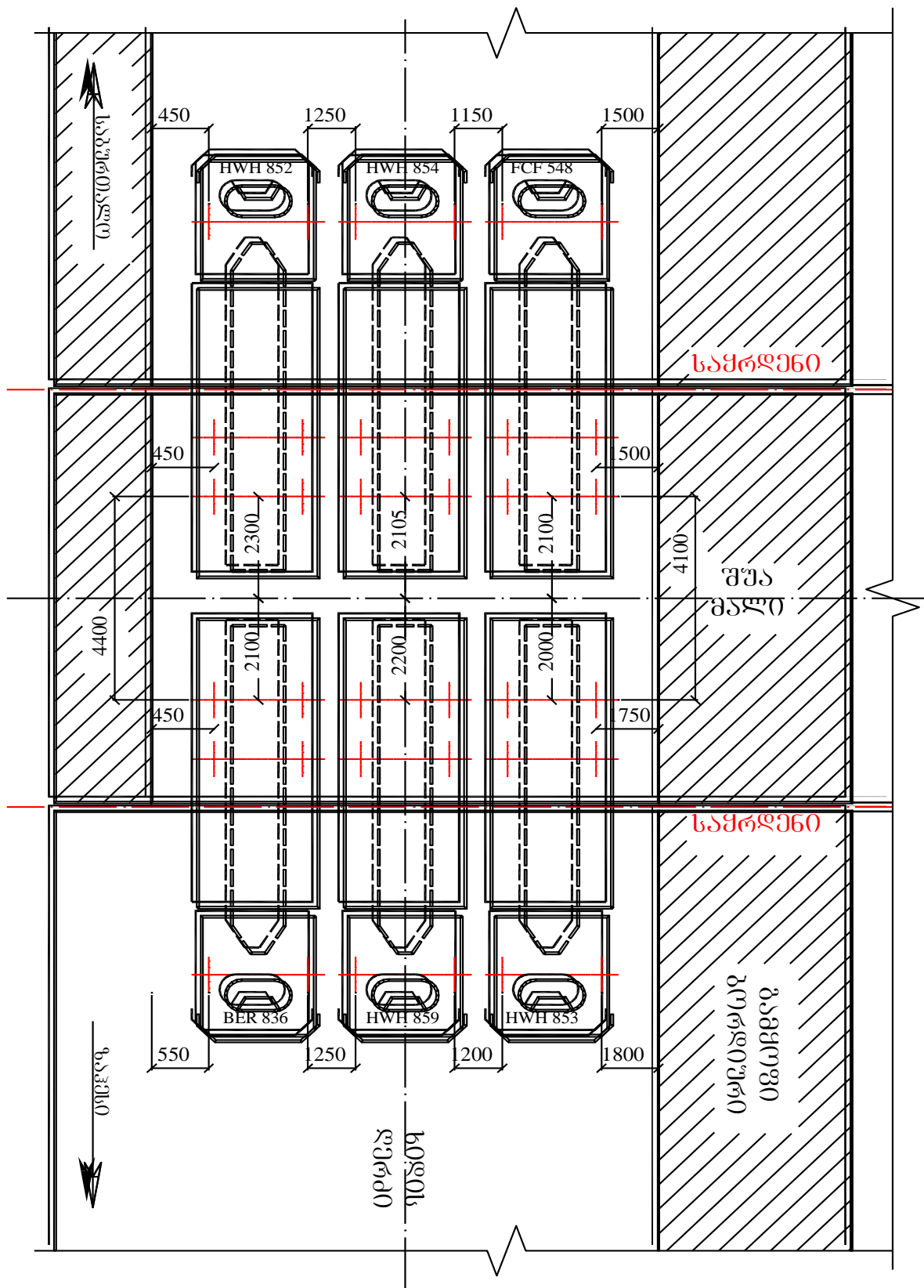
ნახ. 3.1. საცდელი დატვირთვის I დაყენება დიდ მაღაზი



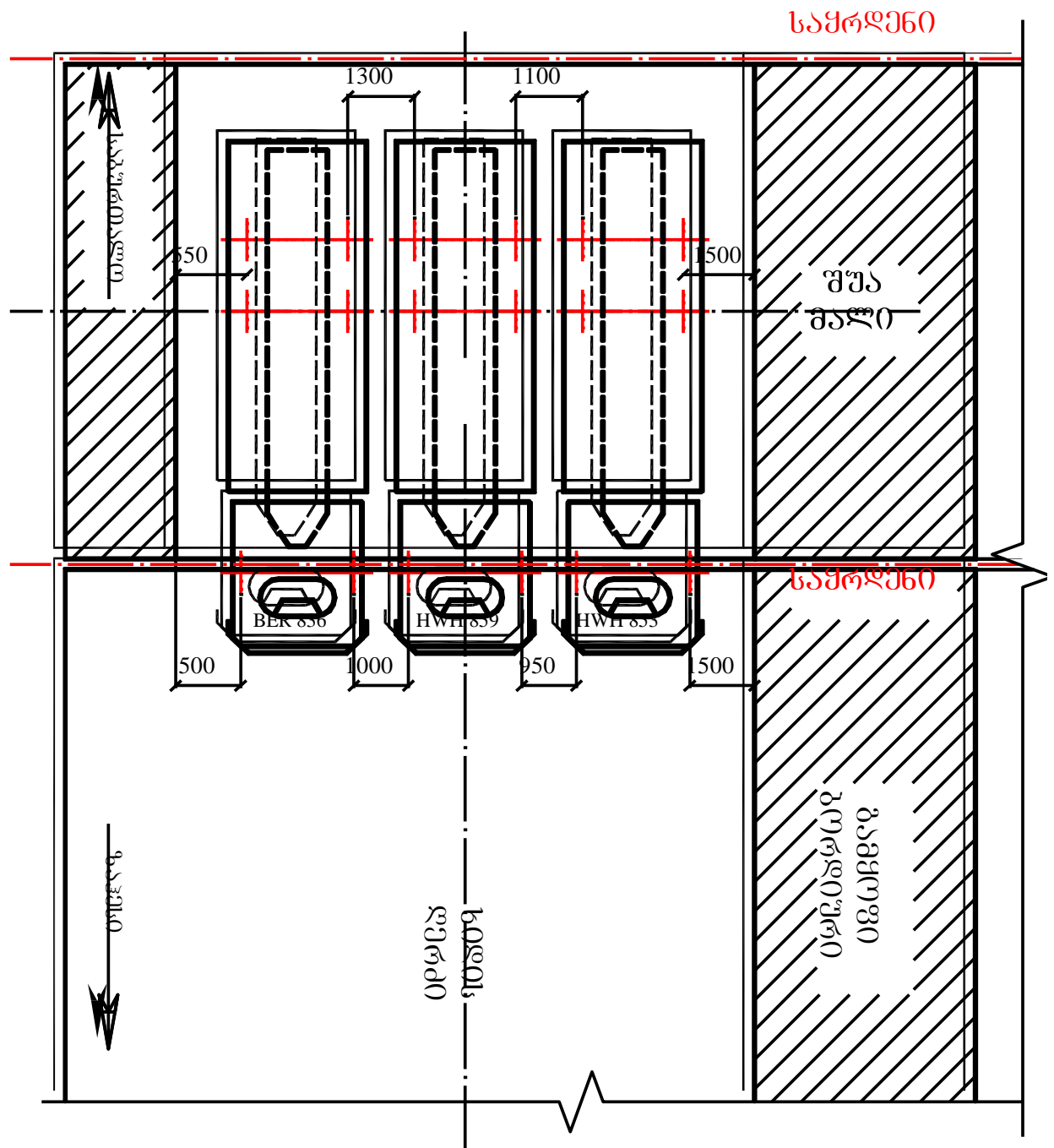
ნახ. 3.2. საცდელი დატვირთვის II დაყენება დიდ მაღალი



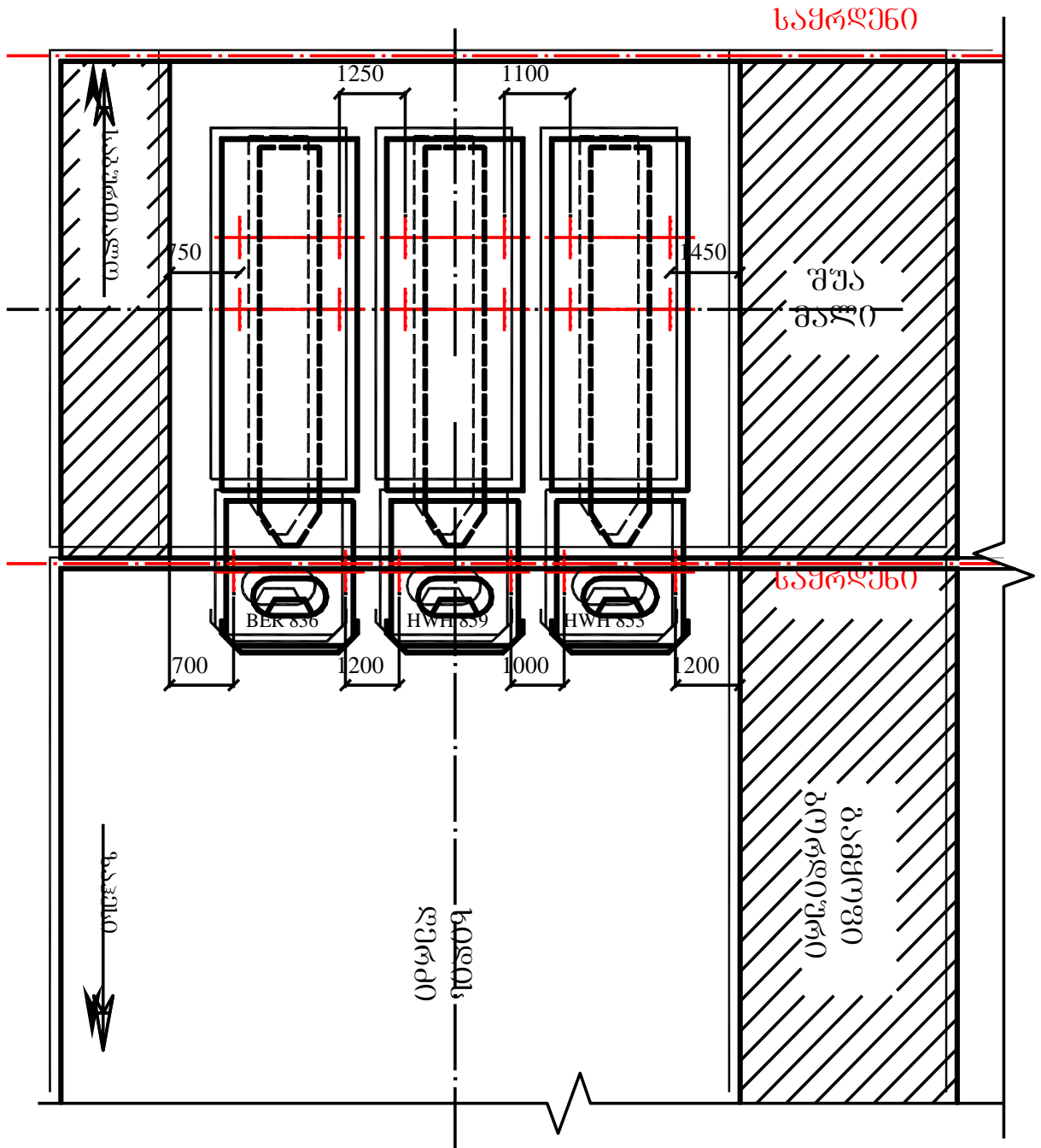
ნახ. 3.3. საცდელი დატვირთვის I დაყენება მცირე მაღში



ნახ. 3.4. საცდელი დატვირთვის II დაუკანება მცირე მაღაზი



ნახ. 3.5. საცდელი დატვირთვის I დაყენება მცირე მაღალ II სექტის მიხედვით



ნახ. 3.6. საცდელი დატვირთვის II დაყენება მცირე მაღალი II სქემის მიხედვით

ცხრილი 3.2.

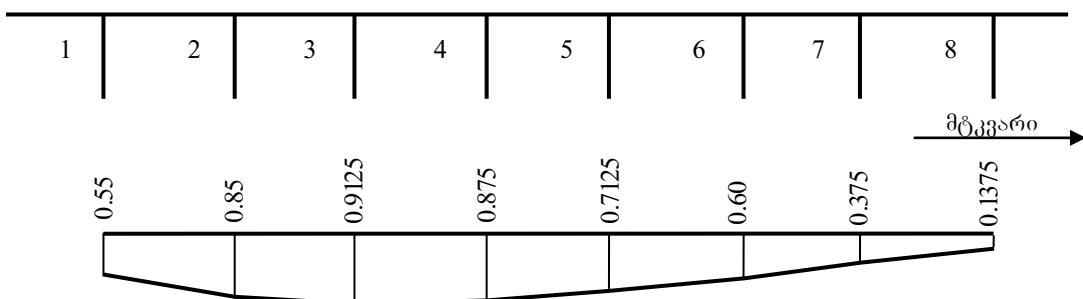
ჩაღუნვმზომების ანათვლები საცდელი დატვირთვის განლაგებისას მცირე მაღალი

ანათვალი დატვირთვა	ხელსაწყოს ნომერი							
	1	2	3	4	5	6	7	8
0	445	356	353.5	230	240.5	321	265	261
1	450	364.5	363	238.5	248	327	269	262
0	445	356.5	354	230	241	321	265.5	260.5
1	451	365	363	239	248	327	269	262
0	445	356	354	230	241	321	265.5	260.5

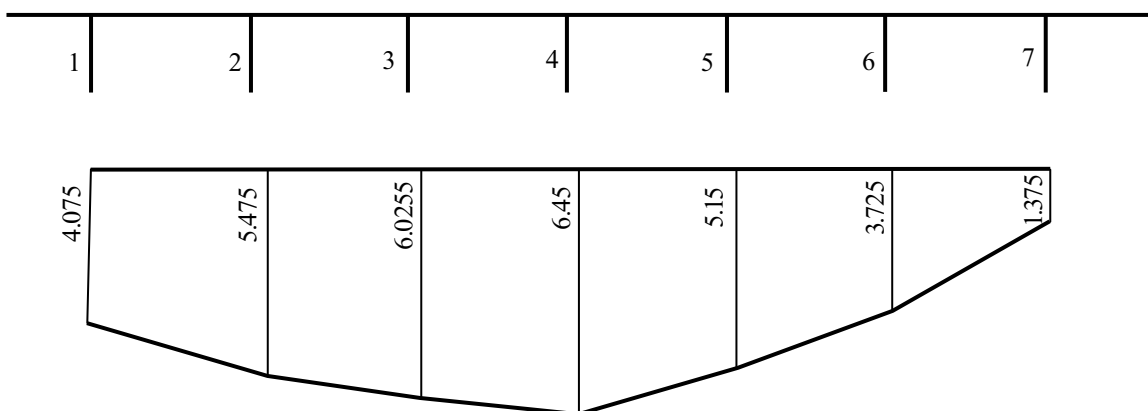
ცხრილი 3.3.

ჩაღუნვმზომების ანათვლები საცდელი დატვირთვის განლაგებისას დიდ მაღალი

ანათვალი დატვირთვა	ხელსაწყოს ნომერი						
	1	2	3	4	5	6	7
0	219	846	282	333	225	347	270
1	262	302	344	398	278	385	282
0	220	247	284	334	227	349	271
1	259	301	344	399	278	386	287
0	220	247	285	334	227	348	271



ნახ. 3.7. ჩაღუნვების მცირე მაღალი, მმ.



ნახ. 3.8. ჩაღუნვების დიდ მაღალი, მმ.

4. მაღის ნაშენის დინამიკური გამოცდა

ხიდის დინამიკური პარამეტრების დასადგენად ხიდის სტატიკური გამოცდის შემდეგ შესრულდა მარჯვენა სანაპირო მაღის დინამიკური გამოცდა.

დინამიკური გამოცდა შესრულდა მაღის ნაშენის სავალ ნაწილზე მძიმე სატვირთო მანქანის გავლისას მაღის ნაშენის რხევების ფიქსაციის საშუალებით. რხევების ფიქსაცია განხორციელდა ხელსაწყოს DYNST-1-ის გამოყენებით, რომელიც მიერთებული იყო ნოუტბუქთან. დინამიკური ეფექტის დასაზუსტებლად სავალ ნაწილზე ავტომობილი მოძრაობდა სხვადასხვა სიჩქარით, რის შედეგად ხდებოდა მაღის ნაშენის სავალ ნაწილზე ავტომობილის სხვადასხვა ინტენსევობით ზემოქმედება. დინამიკურ გამოცდას დაეჭვებადა 22 მ სიგრძის წინასწარ დაძაბული რკინაბეტონის მაღის ნაშენი, რადგან ამ ტიპის მაღის ნაშენებისთვის დინამიკური ეფექტი უფრო მეტადა საგრძნობი ფაქტორია, ვიდრე ჩვეულებრივი რკინაბეტონის და, ამასთან, ნაკლები სიგრძის მაღის ნაშენებითვის.

ხელსაწყოს DYNST-1-ის ტექნიკური პარამეტრები შემდეგია.

დეფორმაციების გაზომვის დიაპაზონი არ არის შეზღუდული
დეფორმაციების ათვლის დისკრეტულობა, მმ 0,04; 0,02; 0,01

გასაზომი ვიბრაციების სიხშირეთა დიაპაზონი, ჰც 0÷40

წამყვანი შკივის ცილინდრული ნაწილის

დიამეტრის ნომინალური მნიშვნელობა, მმ 31,44±0,01;

გაზომვებისას გამოყენებადი საკონტაქტო მავთულის

დიამეტრის ნომინალური მნიშვნელობა, მმ 0,4±0,01

გაბარიტული ზომები, მმ:

- ამოვლელი თავაკი 87×72×96
- ელექტრონული ბლოკი 200×145×75

მასა, კგ:

- ამოვლელი თავაკი 1
- ელექტრონული ბლოკი 0,5

ექსპლუატაციის პირობები:

- ჰაერის ტემპერატურა, °C +5 ÷ +55
- ფარდობითი ტენიანობის ზედა ზღვრული
მნიშვნელობა 35°C -ზე და უფრო დაბალ
ტემპერატურებზე ტენის კონდენსაციის გარეშე, % . . . 80±3
- ატმოსფერული წნევა, კპა 84,0 ÷ 106,7
- დასაშვები დატვირთვის ძალა ამოვლელი
თავაკის დერძზე, ნ,
 - დერძული ≤5
 - რადიალური ≤10

ხელსაწყო კონსტრუქციულად შედგება ორი ამოვლელი თავაკისა და ელექტრონული ბლოკისაგან, რომლებიც დაკავშირებულია ერთმანეთთან შემაერთებელი კაბელებით და გასართებით. ხელსაწყოს ელექტრული კვება ხორციელდება მუდმივი დენის წყაროდან ძაბვით 12 V (2A) (აკუმულატორი ან

ქსელური ადაპტერი). ხელსაწყოს ელექტრონული ბლოკი მიერთებულია პერსონალურ კომპიუტერთან, რომელიც ახორციელებს გაზომვათა მონაცემების დამუშავებას, გასაკონტროლებელი პარამეტრების მნიშვნელობების გამოთვლას და ასახვას კომპიუტერის დისპლეიზე მიღებულ ვიბროგრამასთან ერთად, აგრეთვე მონაცემთა ბაზაში მათ დამახსოვრებას. მონაცემთა დამუშავება ხდება შესაბამისი სპეციალური პროგრამული უზრუნველყოფით “BRIDGE”.

ხელსაწყო აღჭურვილია აგრეთვე დისტანციური რადიომართვის პულტით (50 მ რადიუსის ფარგლებში).

ამთვლელი თავაკების ძირითად ნაწილს შეადგენს BE 178A ტიპის კუთხურ გადაადგილებათა ფოტოელექტრული გარდამქმნელი (ინკრემენტალური ენკოდერი). მის გამოსავალ ლილვზე დამატებით დამაგრებულია დარებიანი ქრომირებული დისკო $31,44 \pm 0,01$ მმ-ის ტოლი კალიბრებული დიამეტრით საკონტაქტო მავთულის წამოსაცმელად, რომლის ერთი ბოლო მაგრდება გამოსაცდელ კონსტრუქციაზე, კონკრეტულ შემთხვევაში ხიდის მალის ნაშენის შუა (მე-7) კოჭის ძირზე, ხოლო მეორე – იჭიმება ხისტ ფუძეზე დამაგრებული ზამბარით. ამგვარად ხორციელდება გამოსაცდელი კონსტრუქციის ვერტიკალური დეფორმაციების გარდაქმნა ენკოდერის ლილვის შესაბამის კუთხურ გადაადგილებებად. სისტემა გათვლილია იმგვარად, რომ ლილვის ერთი სრული შემობრუნება შეესაბამება საკონტაქტო მავთულის 100 მმ-ის ტოლ გრძივ გადაადგილებას.

ამთვლელი თავაკები აღჭურვილია აგრეთვე სპეციალური სამაგრი მოწყობილობებით გასაკონტროლებელი ობიექტის მიმართ მათი კორპუსების უძრავად დასაფიქსირებლად.

ინკრემენტალური ენკოდერი ქმნის ორ გამზომ სიგნალს: $\sin j$ და $\cos j$. ამ სიგნალების ანალიზის საფუძველზე ხორციელდება გადაადგილებათა სიდიდეებისა და მიმართულებების განსაზღვრა, რომელთა ციფრობრივი მნიშვნელობები გადაეცემა პროცესორს ენერგოდამოუკიდებელი მეხსიერებით და შემდეგ პერსონალურ კომპიუტერს.

გამოცდის შედეგად დადგინდა, რომ ხიდის 21,6 მ სიგრძის მალის ნაშენის დინამიკური კოეფიციენტია $(1+\mu)=1.22$. ამ სიდიდის თეორიული მნიშვნელობა ნორმების მიხედვით $\mu=1.13$.

იმავე მალის ნაშენის კონსტრუქციის საკუთარი რხევების პერიოდია $T=0,297$ წმ (სიხშირე $\varphi=3,367$ ჰც), რაც ნორმებით შეზღუდული დიაპაზონის $0,45-0,6$ წმ გარეთ იმყოფება. კონსტრუქციის რხევების ჩაქრობის დეკრემენტის სიდიდე $\psi=0,223$, რაც ამ ტიპის კონსტრუქციებისთვის დამახსოვრებელი დიაპაზონის ფარგლებშია.

5. მალის ნაშენის დაპაბულ-დეფორმირებული გდგომარეობის ანალიზი

5.1. საანგარიშო პროგრამული კომპლექსის ლირა აღწერა

საანგარიშო კომპლექსი ლირა წარმოადგენს სასრულ ელემენტთა მეთოდზე დაფუძნებულ საანგარიშო პროგრამების ერთობლიობას, რომლის საშუალებით გაიანგარიშება მყარი ტანის მექანიკის ამოცანები. სწორედ ასეთი ამოცანების კლასს განეკუთვნება ხიდების კონსტრუქციების გაანგარიშების ამოცანები.

გარდა ობიექტის მოდელის ზოგადი გაანგარიშებისა სტატიკური დატვირთვის ყველა შესაძლო სახეობაზე, ტემპერატურულ, დეფორმაციულ და დინამიკურ ზემოქმედებებზე, პკ ლირა ავტომატურ რეჟიმში განსაზღვრავს საანგარიშო დატვირთვებისა და ძალვების თანწყობებს, ასრულებს რკინაბეტონისა და ფოლადის ელემენტების კვეთების შერჩევასა და შემოწმებას, ადგენს კონსტრუქციულ ნახაზებს. პკ ლირა შესძლებლობას იძლევა გამოკვლეულ იქნას საანგარიშო მოდელის საერთო მდგრადობა, შემოწმდეს ელემენტების კვეთების სიმტკიცე რდვევის სხვადასხვა თეორიების მიხედვით.

გაანგარიშებების შედეგების ვიზუალიზაცია საშუალებას იძლევა შემდგომი ანალიზისთვის აისახოს ობიექტის დაძაბულ-დეფორმირებული მდგომარეობა გადაადგილებებისა და ძაბვების იზოველების, ძალვებისა და ჩაღუნვების ეპიურების, ელემენტის რდვევის მოზაიკის, მთავარი და ექვივალენტური ძაბვების სახით და ა.შ.

პროგრამის საანგარიშო მოდულში დაცულია სასრულ ელემენტთა დიდი მოცულობის ბიბლიოთეკა, რომელიც სასუალებას იძლევა შეიქმნას საკვლევი ობიექტის ადექვატური საანგარიშო მოდელები პრაქტიკულად შეზღუდვების გარეშე. ამასთან დასაშვებია კონსტრუქციული მასალებისა და ელემენტების დეფორმაციულობის კანონის წრფივი და არაწრფივი ხასიათის გათვალისწინება, რაც, მაგალითად, შესაძლებელს ხდის რკინაბეტონის სხვადასხვა სახეობების გაანგარიშებას.

პკ ლირა-ს თეორიულ საფუძველს წარმოადგენს სასრულ ელემენტთა მეთოდი, რომელიც რეალიზებულია გადაადგილებების ფორმით, კერძოდ, პკ იყენებს შესაძლო გადაადგილებათა პრინციპს. საანგარიშო მოდელის შიგნით გადაადგილებები წარმოადგენს მოდელის შემადგენელი სასრული ელემენტების დეფორმაციების შედეგს. ეს სასრული ელემენტები შეირჩევა ბიბლიოთეკიდან, რომელიც შეიცავს სხვადასხვა ტიპის კონსტრუქციებისთვის დამახასიათებელ ელემენტებს: ღეროებს, ბრტყელი ამოცანის სამკუთხა და ოთხკუთხა ელემენტებს, ფილებს, გარსებს, სივრცული ამოცანის ელემენტებს – ტეტრაედრს, პარალელეპიდებს, სამწანაგა პრიზმებს. გარდა ამისა ბიბლიოთეკა შეიცავს სასრული სიხისტის კავშირებს, კვანძებს შორის დრეკად დამყოლობას, ელემენტებს, რომელთა მახასიათებლები აღიწერება სიხისტის რიცხვითი მატრიცით.

ხიდის კოჭოვანი მალის ნაშენის გაანგარიშებისთვის გამოიყენება წრფივი ამოცანის გადაწყვეტა, რომელშიც არსებობს დატვირთვებსა და გადაადგილებებს შორის პირდაპირ პროპორციული დამოკიდებულება გადაადგილებადა მცირე

სიდიდის გამო და ასახული პუკის კანონით. ამის გამო ზალაშია სუპერპოზიციის პრინციპი და ძალთა მოქმედების დამოუკიდებლობის კანონი.

წინასწარ დაძაბული ელემნტების მოდელირებისთვის გამოიყენება სპეციალური სასრული ელემენტი, რომელიც პირველი დატვირთვისას უზრუნველყოფს საანგარიშო სქემაში საწირო ზალვის წარმოქმნას, შემდეგ კი მუშაობს როგორც ჩვეულებრივი სასრული ელემენტი. ამით უზრუნველყოფილია წინასწარ დაძაბული რკინაბეტონის კოჭების მოდელირება მალის ნაშენში.

საანგარიშო სქემა წარმოადგენს კონსტრუქციის იდეალიზებულ მოდელს, რომელიც დაყოფილია სასრულ ელემენტებად, რის შედეგად ჩნდება კვანძები. საანგარიშო სქემა ორიენტირებულია დეკარტის მარჯვენა კოორდინატთა სისტემაში. სასრული ელემენტის ფიქსაციისთვის გამოიყენება კოორდინატთა ადგილობრივი სისტემა (ასევე მხოლოდ მარჯვენა დეკარტის სისტემაზე ორიენტირებული).

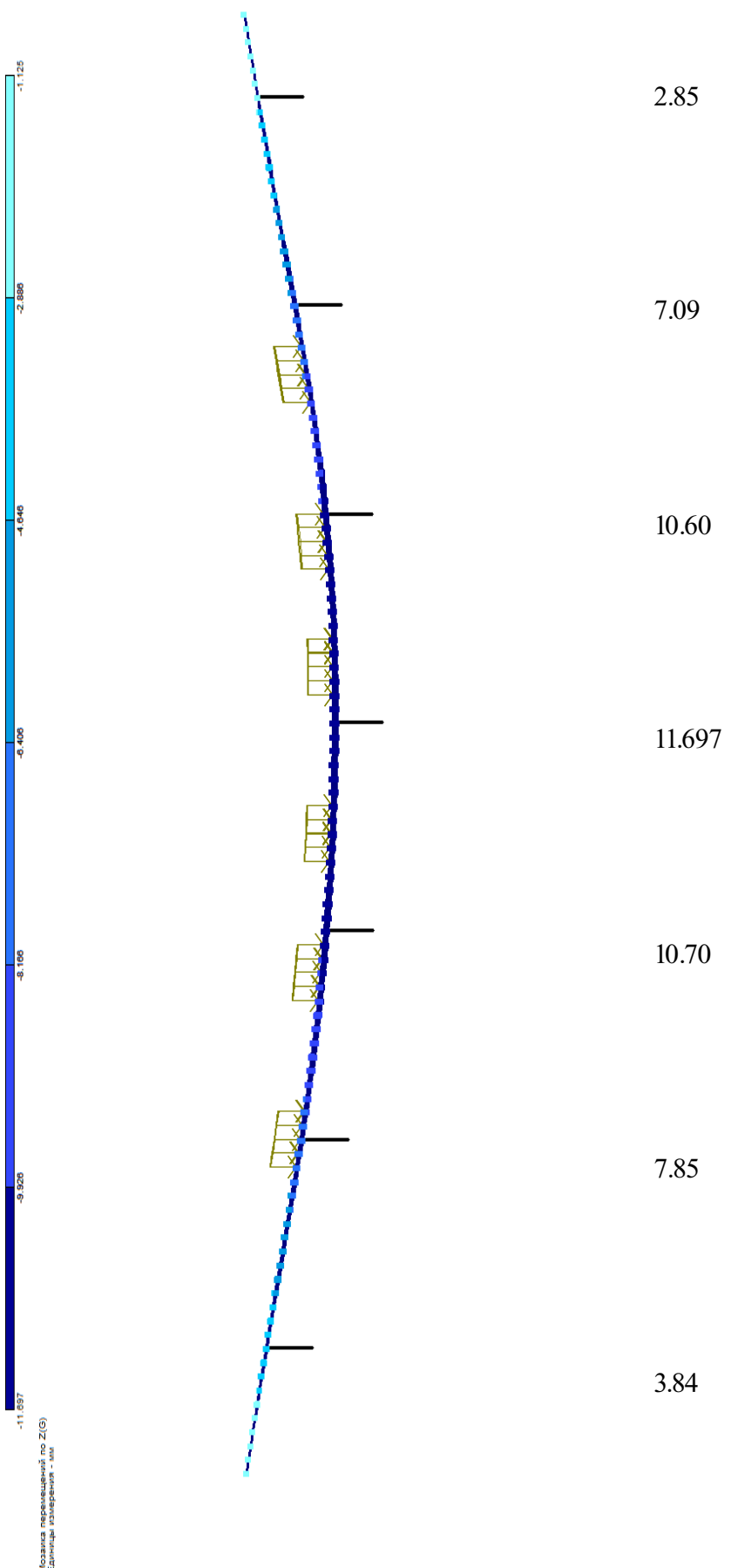
მოდელში დატვირთვის სტატიური ზემოქმედება მოცემულია შეკვერსული ძალების ან მომენტების სახით, რომლებიც მოქმედებენ კავშებში ან უშუალოდ ელემენტში მისი ღერძების გასწვრივ.

ამოცანის გადაწყვეტის სიზუსტე დამოკიდებულია სასრული ელემენტის ზომებზე და შეირჩევა გადასაწყვეტი ამოცანის ხასიათიდან გამომდინარე. სასრული ელემენტების ერთობლიობა ქმნის სივრცულ ან ბრტყელ ბადეს, რომლის სიხშირე შეიძლება ცხვადასხვა იყოს მოდელის სხვადასხვა ზონაში. რაც უფრო ხშირია ბადე, მით უფრო ზუსტია გაანგარიშების შედეგები, მაგრამ გართულებულია გაანგარიშების პროცესი. ამიტომ უფრო ხშირად ბადის სიხშირეს ზრდიან კონსტრუქციის საკვანძო უბნებში, სადაც ადგილი აქვს ძაბვების, ძალვებისა და გადაადგილებების კონცენტრაციას ან მათ მკეთრ ცვლილებს.

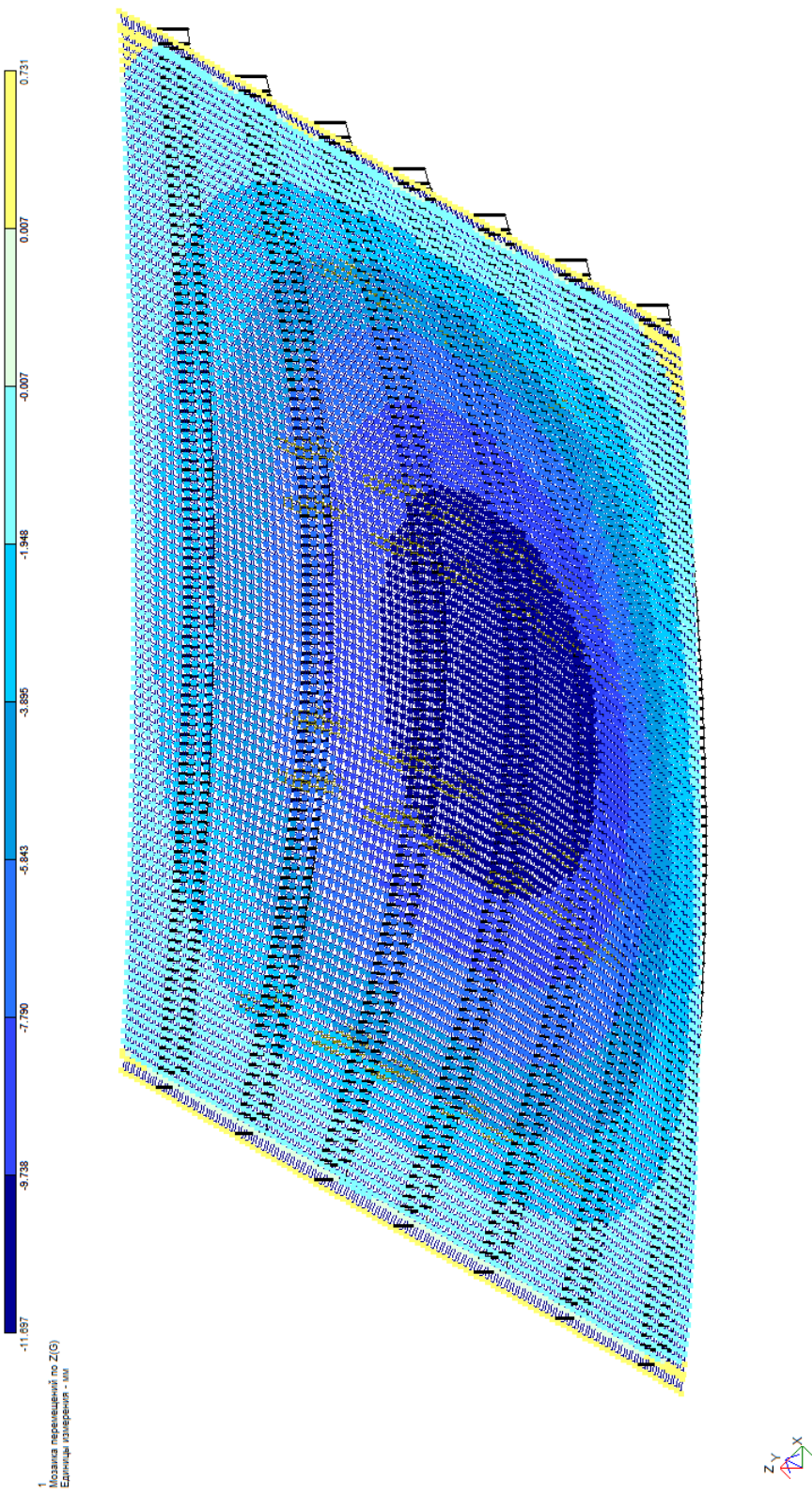
გაანგარიშების შედეგად მიიღება ძაბვების, ძალვებისა და გადაადგილებების ველები, რომლებიც ასახავენ საანგარიშო კონსტრუქციის დაძაბულ-დეფორმირებულ მდგომარეობას. ამ მონაცემების შედარება ნორმატულ სიდიდეებთან საშუალებას იძლება შეფასდეს კონსტრუქციის მუშაობის ხასიათი, მისი რესურსი და გაკეთდეს დასკვნა კონსტრუქციის (ნაგებობის) ვარგისიანობის შესახებ.

5.2. მალის ნაშენის დეფორმაციებზე გაანგარიშების შედეგები

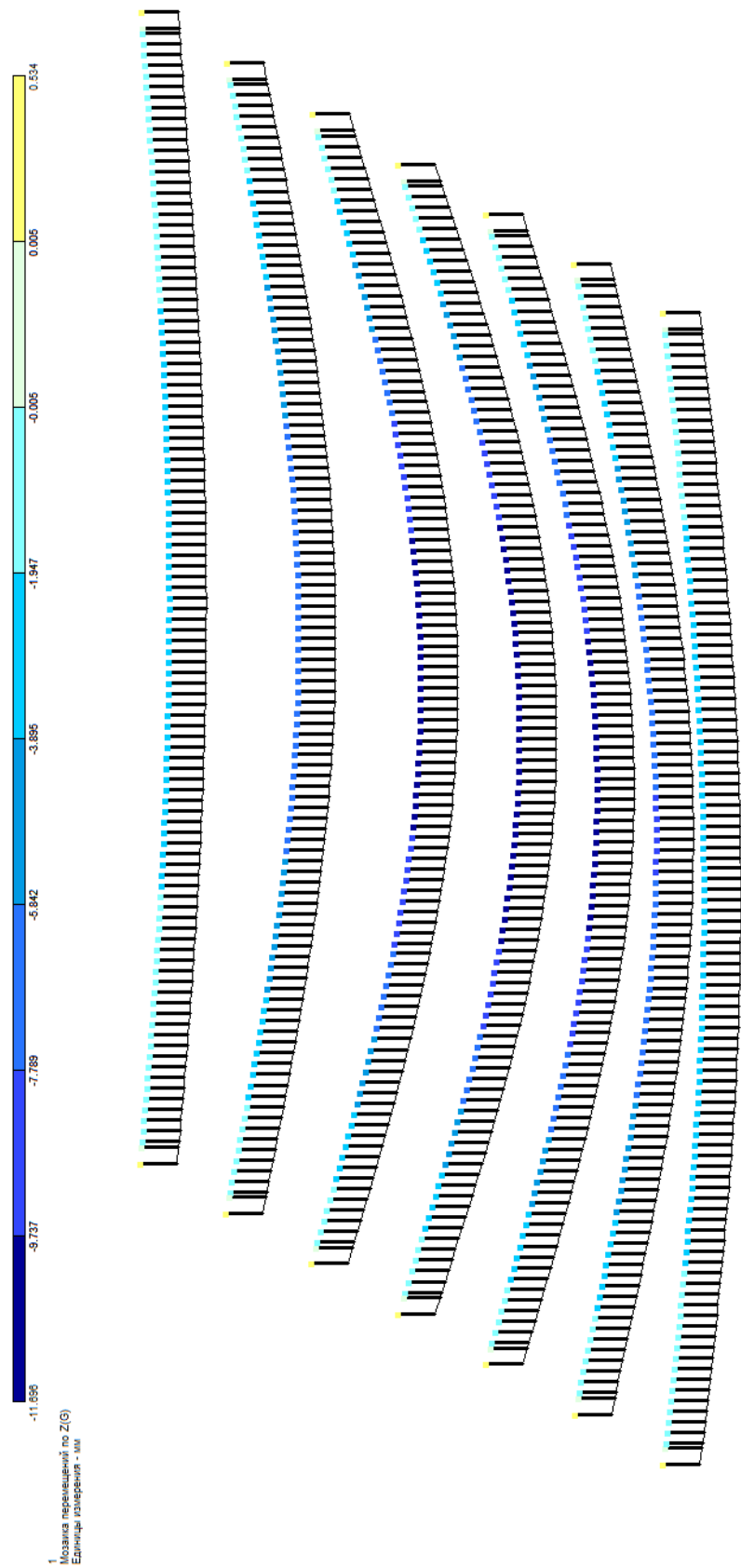
საანგარიშო კომპლექსის ლირა გამოყენებით გაანგარიშებულ იქნა მარშალ გელოვანის სახ. გამზირზე მდებარე ხიდის მალის ნაშენის დეფორმაციები (ჩაღუნვები) საცდელი დატვირთვის ზემოქმედებისას. ოეორიული გაანგარიშებებისა და ექსპერიმენტული მონაცემების შედარებამ აჩვენა მათი დამაკმაყოფილებელი თანხვდომა. კერძოდ, ჩაღუნვების ეპიურის მოხაზულობა ორივე შემთხვევაში ერთნაირია, ხოლო დიდი მალის ყველაზე დეფორმირებული მე-4 კოჭისათვის ოეორიულ და ექსპერიმენტულ ჩაღუნვებს შორის სხვაობამ შეაღინა 5,247 მმ, მალის ნაშენის გაზრდილი სიხისტი, რაც გამოწვეულია კონსტრუქციაში არსებული სიხისტის მარაგებით.



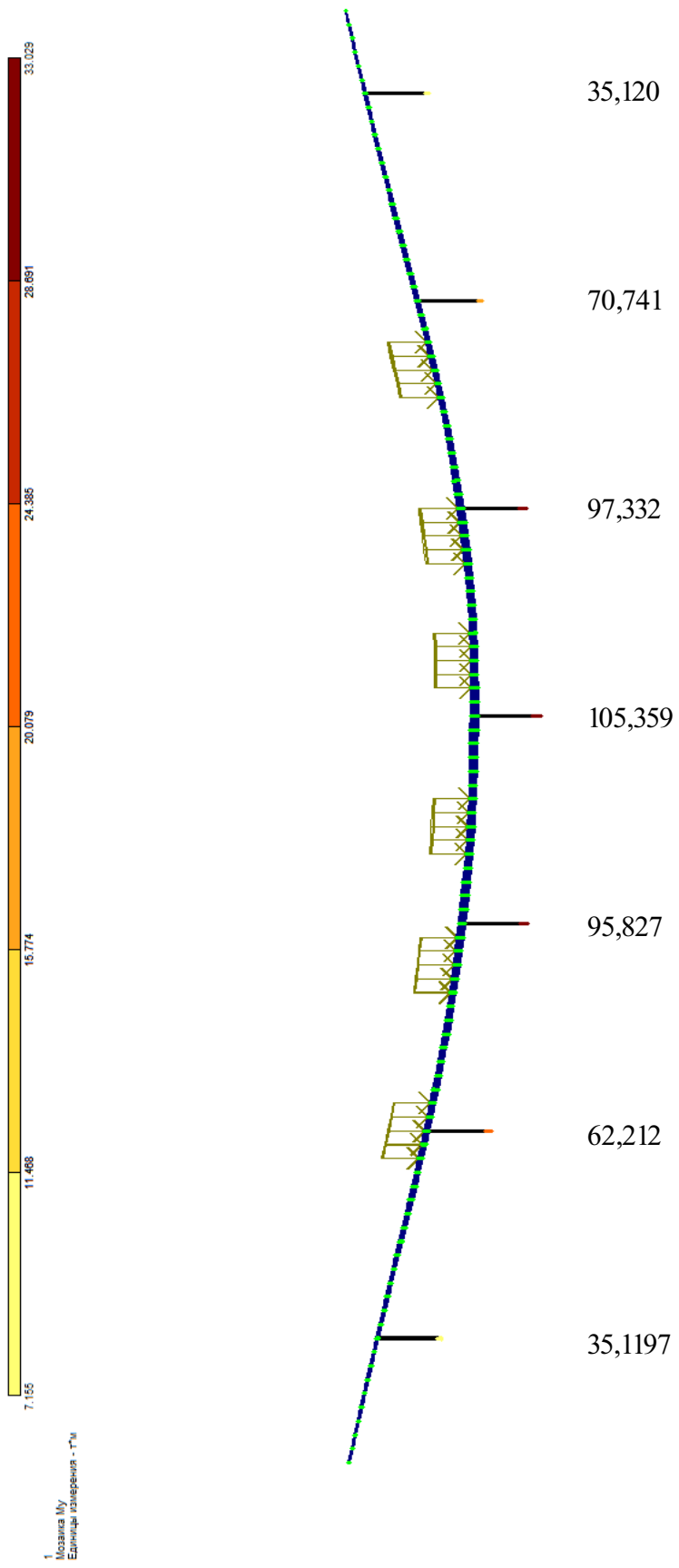
ნახ. 5.1. დიდი გალოს ნაშენის შეა კვლევის ჩაღუნები საცდელი დატვირთვის ზემოქმედებისას



б) б. 5.2. Результат моделирования на основе метода конечных элементов распределения сопротивления грунта вдоль фундамента

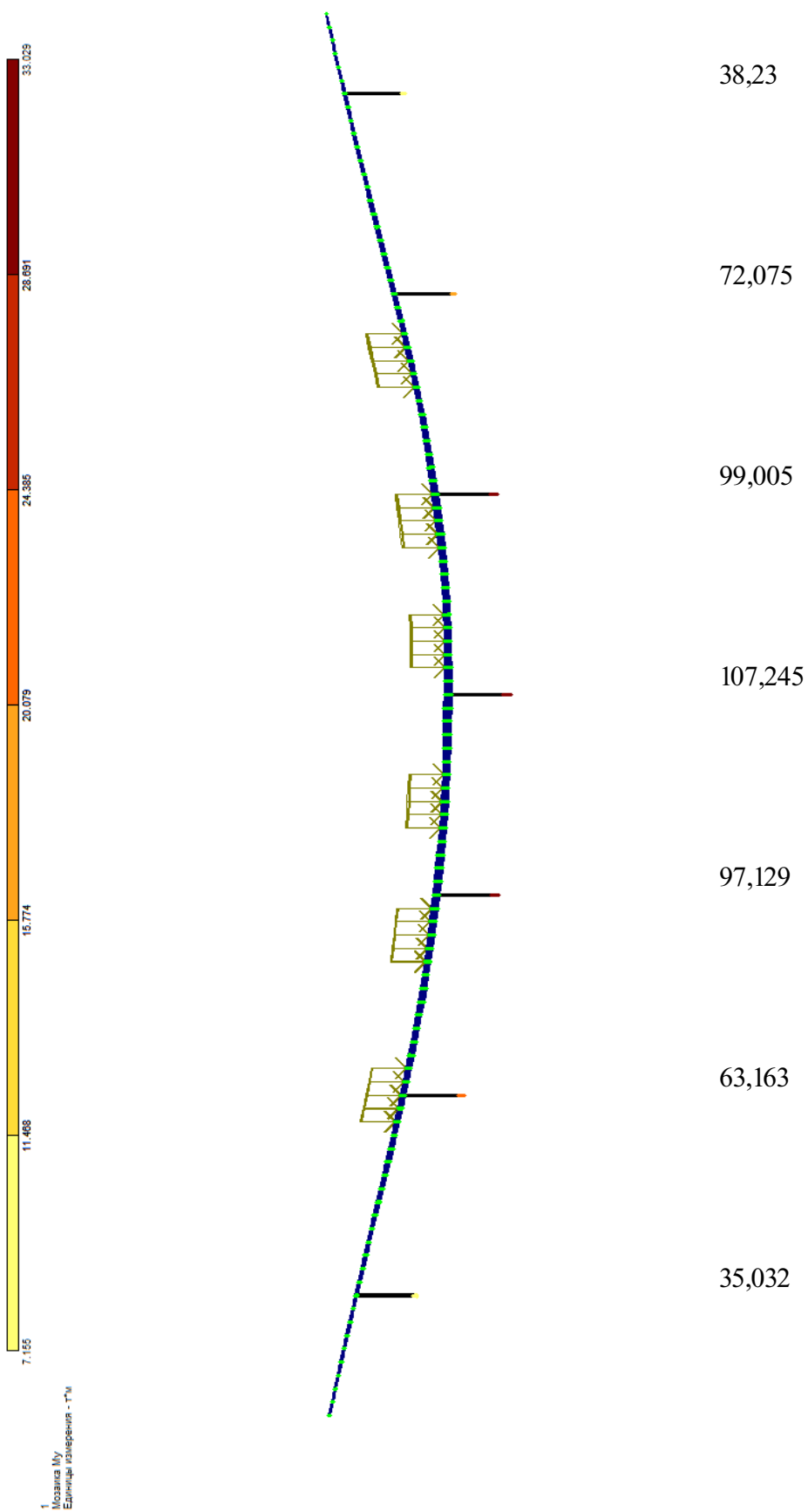


Баb. 53. Розріз мозаїків балобів зважуваних на схематичні додаткові зміни та зміни



ნახ. 5.4 ღიღი მალის ნაშენის შეა დევოში გრუნვი მომენტი საცეკვი დატვირთვის გემოწევებისას, გვ

ნახ. 5.5. დიდი გადაის ნაშენის შეა ძეგლი მომუხტები A-11 დატვირთვის ზემოქმედებისას, ტე



5.3. მალის ნაშენის კოჭის შემოწმება მზიდუნარიანობაზე

ა) ახალი მალის ნაშენი 22,0 მ სიგრძის კოჭებით.

მალის ნაშენის წინასწარ დაძაბული რკინაბეტონის კოჭის მზიდუნარიანობის შემოწმებისას მიღებულია შემდეგი საწყისი მონაცემები:

- კოჭის სიგრძე $L=22,0$ მ;
- კოჭის საანგარიშო მალი $l=21,40$ მ;
- კოჭის სიმაღლე $h=120,0$ სმ;
- კოჭის ბეტონის მარკა M400;
- ბეტონის საანგარიშო წინაღობა კუმშვაზე $R_b=160,0$ კგ/სმ²=1,6 კნ/სმ²;
- დაძაბული არმატურის საანგარიშო წინაღობა გაჭიმვაზე I ჯგუფის ზღვრულ მდგომარეობაზე გაანგარიშებისას $R_p=10750$ კგ/სმ²=107,5 კნ/სმ²;
- კოჭის ფილის სისქე $h'=15,0$ სმ;
- კოჭის ფილის სიგანე $b'=242,5$ სმ;
- კოჭის შვეული კედლის სიგანე $b=16,0$ სმ;
- დაძაბული არმატურის განივი კვეთის ფართობი (9 კონა 24 მავთულით დიამეტრით 5 მმ) $A_p=42,39$ სმ²;
- მალის შუაში დაძაბული არმატურის სიმძიმის ცენტრის დაშორება კოჭის ქვედა წიბოდან $a_p=13,56$ სმ;
- კოჭის მუშა სიმაღლე მალის შუაში $h_o=106,44$ სმ.

მოყვანილი მონაცემების მიხედვით კოჭის კვეთის შეკუმშვლი ბეტონის ზონის სიმაღლე შეადგენს ([1], პ. 3.63)

$$x = \frac{R_p A_p}{R_b b} = \frac{107,5 \cdot 42,39}{1,6 \cdot 242,5} = 11,74 \text{ სმ.}$$

$$x=11,74 \text{ სმ} < h'=15,0 \text{ სმ.}$$

შესაბამისად, კვეთის სიმტკიცე მალის შუაში შეადგენს

$$M_{\text{ყვ}} = R_b b x (h_o - 0,5x) =$$

$$= 1,6 \cdot 242,5 \cdot 11,74 (106,44 - 0,5 \cdot 11,74) = 458108,42 \text{ კნ} \cdot \text{სმ} = 458,11 \text{ ტმ.}$$

მდუნავი მომენტის მაქსიმალური საანგარიშო მნიშვნელობა ყველაზე დატვირთული კოჭისათვის მალის შუაში საპროექტო მონაცემების გათვალისწინებით შეადგენს

$$M_{0,5}^{\text{b}} = M_{0,5}^{\text{მაქ}} + M_{0,5}^{\text{კო}} = 225,8685 + 149,65 = 375,52 \text{ ტმ.}$$

შესაბამისად,

$$M_{\text{ყვ}} = 458,11 \text{ ტმ} > M_{0,5}^{\text{b}} = 375,52 \text{ ტმ}$$

მალის ნაშენის კოჭის სიმტკიცის პირობა მდუნავი მომენტის მიხედვით დაკმაყოფილებულია დიდი მარაგით.

ბ) ძველი მალის ნაშენი 22,0 მ სიგრძის კოჭებით

მალის ნაშენის ჩვეულებრივი რკინაბეტონის დიაფრაგმებიანი კოჭის მზიდუნარიანობის შემოწმებისას მიღებულია შემდეგი საწყისი მონაცემები:

- კოჭის სიგრძე $L=22,16$ მ;
- კოჭის საანგარიშო მალი $l=21,60$ მ;
- კოჭის სიმაღლე $h=132,0$ სმ;
- კოჭის ბეტონის მარკა M300 (ბეტონის კლასი სიმტკიცეზე კუმშვის მიხედვით B25);

- ბეტონის საანგარიშო წინაღობა კუმშვაზე $R_b=135,0$ კგ/სმ²=1,35 კნ/სმ²;

- 14 ცალი AII კლასის Ø28 მმ არმატურის საანგარიშო წინაღობა გაჭიმვაზე I ჯგუფის ზღვრულ მდგომარეობაზე გაანგარიშებისას $R_s=2550$ კგ/სმ²=25,5 კნ/სმ²;

- კოჭის ფილის სისქე $h'_{f}=16,0$ სმ;
- კოჭის ფილის სიგანე $b'_{f}=136,0$ სმ;
- კოჭის შვეული კედლის სიგანე $b=16,0$ სმ;
- კოჭის მუშა სიმაღლე მალის შუაში $h_o=115,0$ სმ.

მოყვანილი მონაცემების მიხედვით კოჭის კვეთის შეკუმშული ბეტონის ზონის სიმაღლე შეადგენს ([1], პ. 3.63)

$$x = \frac{R_s A_s}{R_b b} = \frac{25,5 \cdot 14 \cdot 6,158}{1,25 \cdot 136,0} = 12,93 \text{ სმ}$$

$$x=12,93 \text{ სმ} < h'_{f}=16,0 \text{ სმ}$$

შესაბამისად, კვეთის სიმტკიცე მალის შუაში შეადგენს

$$M_{\psi_{\text{ყ}}}=R_b b x (h_o - 0,5x) =$$

$$= 1,25 \cdot 136,0 \cdot 12,93 (115,0 - 0,5 \cdot 12,93) = 238570,78 \text{ კნ} \cdot \text{სმ} = 238,57 \text{ ტმ}$$

მდუნავი მომენტის მაქსიმალური საანგარიშო მნიშვნელობა ამჟამად მოქმედი ნორმებით დადგენილი A-11 დატვირთვის შესაბამისად ყველაზე დატვირთული კოჭისათვის მალის შუაში მალის ნაშენის საპროექტო მონაცემების გათვალისწინებით შეადგენს

$$M_{0,5}^{\text{b}} = M_{0,5}^{\text{მა}} + M_{0,5}^{\text{მა}} = 164,0916 + 105,563 = 279,655 \text{ ტმ}$$

შესაბამისად,

$$M_{\psi_{\text{ყ}}} = 238,57 \text{ ტმ} < M_{0,5}^{\text{b}} = 279,655 \text{ ტმ}$$

ანუ სიმტკიცის პირობა ღუნგაზე დაკმაყოფილებული არ არის.

იმის გათვალისწინებით, რომ გაანგარიშების დროს მიღებული საწყისი მონაცემები ახასიათებს “იდეალურ”, ანუ დაუზიანებელ და საპროექტო მონაცემების მქონე კოჭს, ფაქტობრივად კი საქმე გვაქვს კოჭთან, რომელშიც განვითარებულია დესტრუქციული პროცესები, რომელთა შედეგად ბეტონის სიმტკიცე კოჭის რიგ ადგილებში დაქვეითებულია, დაზიანებული ბეტონის კვეთის ზომები მთელ რიგ ადგილებში აღარ შეესაბამება საპროექტო სიდიდეებს, ხოლო არმატურის კოროზიის შედეგად შემცირებულია მისი კვეთი, უნდა ჩაითვალოს, რომ კოჭის ფაქტობრივი მზიდუნარიანობა ნაკლებია გაანგარიშებით მიღებულ სიდიდესთან შედარებით და, შესაბამისად, კოჭის მზიდუნარიანობის დეფიციტი

უფრო მეტია. აქედან გამომდინარე, განხილული მალის ნაშენის ექსპლოატაცია ნორმებით გათვალისწინებულ საანგარიშო დატვირთვებზე მიუღებელია და მალის ნაშენი საჭირებს რეკონსტრუქციას.

რეკომენდაციები და დასკვნები

ქ. თბილისში მარშალ გელოვანის გამზირზე მდ. დიდმურაზე მდებარე ხიდის გამოკლევა-გამოცდის მასალების ანალიზის საფუძველზე კეთდება დასკვნა, რომ:

1. ხიდის შემაღენელი ორი ნაწილი – ძველი და შედარებით ახალი – განსხვავებული ტექნიკური მდგომარეობით ხასიათდება;

2. ახალი ნაგებობის ძირითადი მზიდი კონსტრუქციები დამაკმაყოფილებელ მდგომარეობაშია;

3. რეაბილიტაციას საჭიროებს ხიდის სავალი ნაწილი საიზოლაციო ფენის ჩათვლით, ტროტუარები და მოაჯირები, აღსადგენია ახალი ხიდის ბეტონის პარაპეტი (თბილისის მხარეს);

4. რეაბილიტაციას საჭიროებს ხიდის მოაჯირები და თვალამრიდები;

5. რეაბილიტაციას საჭიროებს მისასვლელი მიწაყრილები თავისი კონუსებით და გადასასვლელი ფილებით;

6. მოსაწყობია საკარადე კედლების ფრთები სათანადოდ დამუშავებული პროექტის მიხედვით;

7. გასაწმენდია ხიდქვეშა სივრცე და ხიდური გადასასვლელის ქვედა და ზედა ბიეფები;

8. მარცხენა ნაპირზე ქვედა ბიეფში გამორეცხვის საწინააღმდეგო გაძლიერებას საჭიროებს საყრდენი კედლის საძირკვევლი;

9. ძველი ხიდის მალის ნაშენების რესურსი ამოწურვის ზღვარზეა და ხიდი საჭიროებს რეკონსტრუქციას, რაც უნდა შესრულდეს სპეციალურად დამუშავებული პროექტის მიხედვით;

10. ხიდის ძველი ნაწილის მასალისა და კონსტრუქციების მდგომარეობისა და იმის გათვალისწინებით, რომ ხიდის ამ ნაწილში მალის ნაშენები დაპროექტებულია 1953 წლის ნორმებით, რომელთა მიხედვით მოძრავი შვეული დატვირთვის სახით მიღებული იყო დატვირთვა H-13, ხიდის რეკონსტრუქციამდე დაუშვებელია ხიდზე მძიმეწონიანი სატრანსპორტო საშუალებების მოძრაობა.

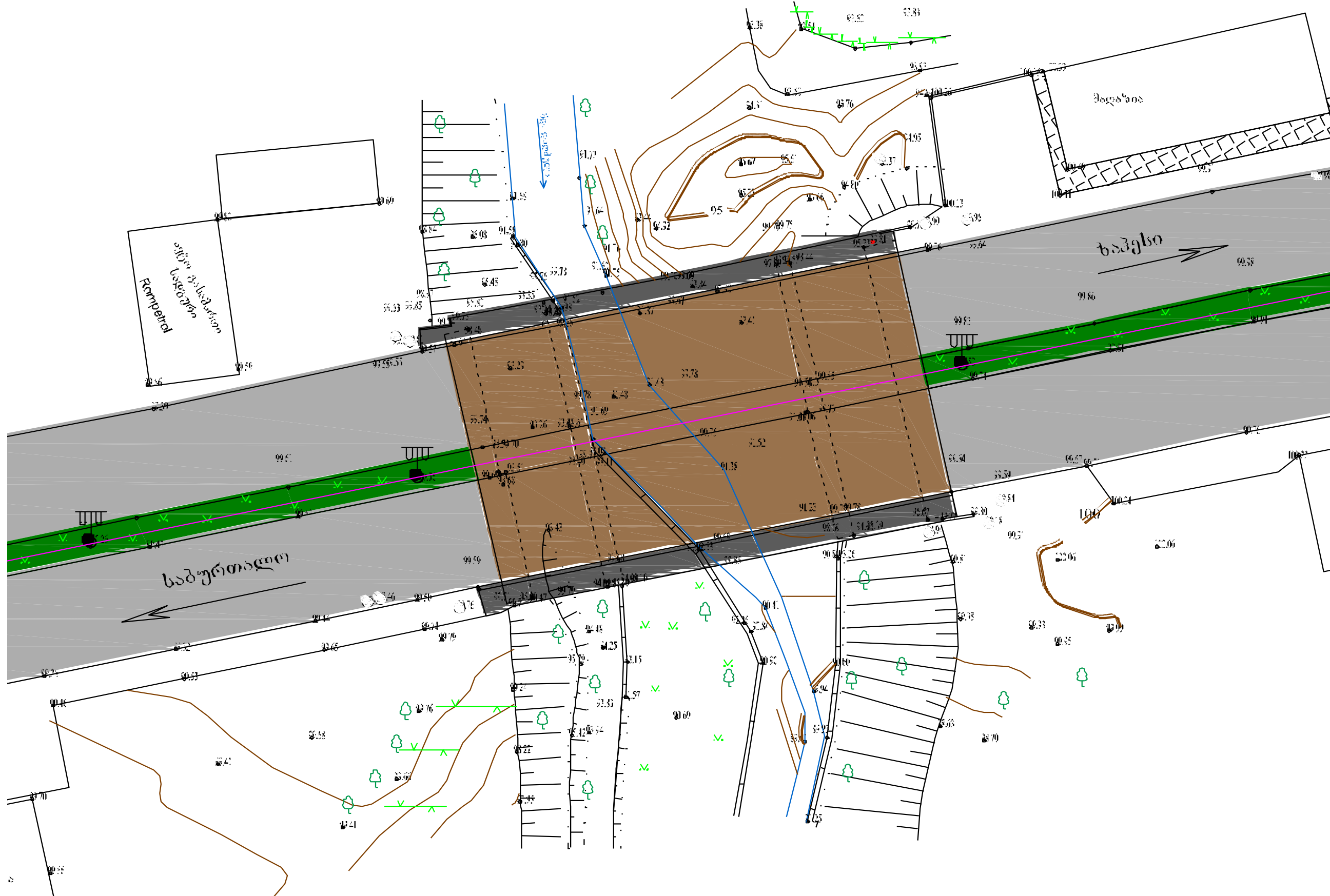
საბოლოოდ კეთდება დასკვნა, რომ ხიდის შედარებით ახალ ნაწილზე სარეაბილიტაციო სამუშაოების შესრულების შემდეგ შესაძლებელია მისი ექსპლოატაცია შეზღუდვების გარეშე მოქმედი ტექნიკური პირობების შესაბამისად.

ძველი ნაწილის შემდგომი ნორმალური ექსპლოატაცია არ არის გარანტირებული და ხიდი საჭიროებს რეკონსტრუქციას სპეციალურად შედგენილი პროექტის საფუძველზე.

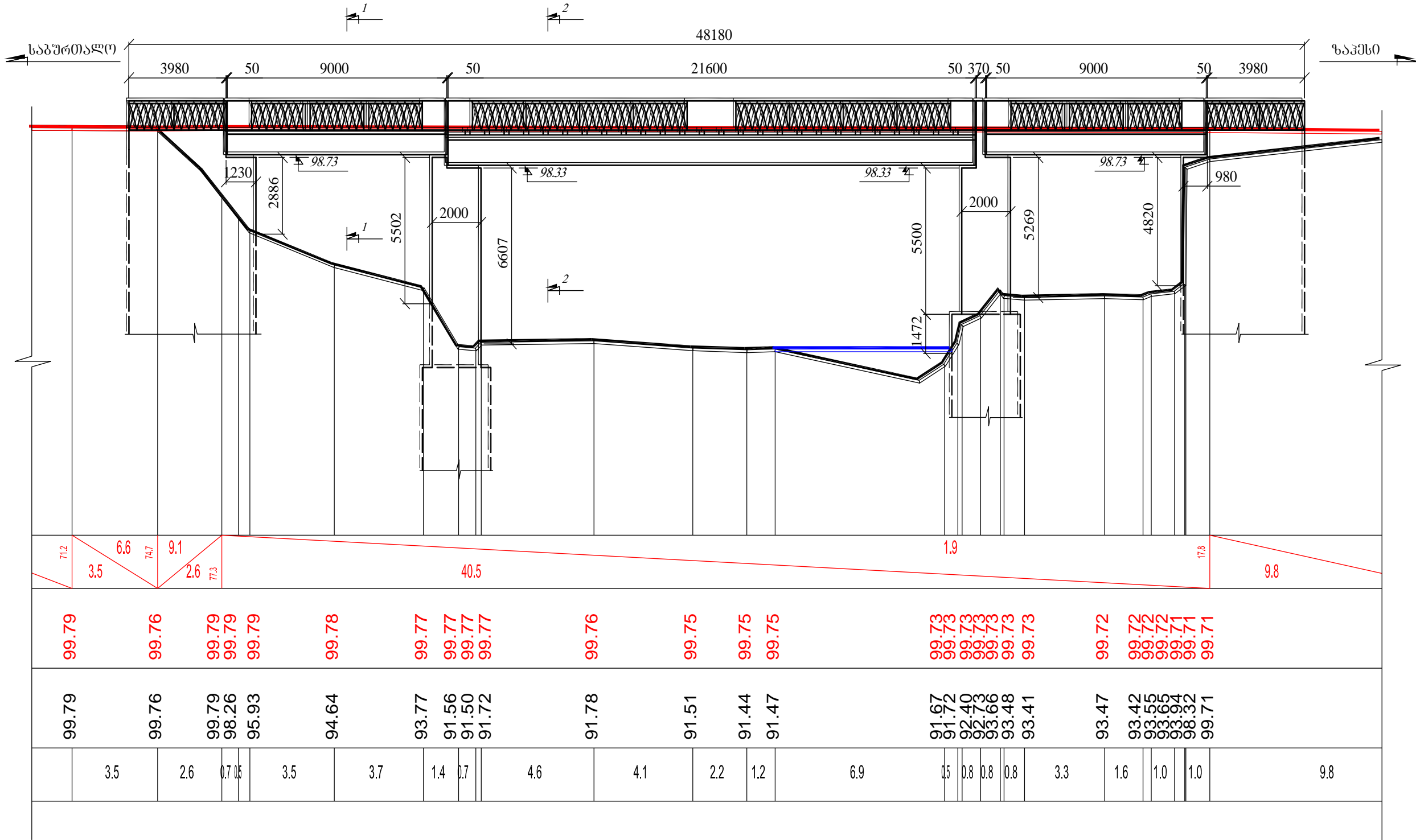
ЛІТЭРАТУРА

1. СНиП 2.05.03-84. Мосты и трубы. Нормы проектирования.
2. СНиП Ш-43-75. Мосты и трубы. Правила производства и приемки работ.
3. СНиП 3.06.07-86. Мосты и трубы. Правила обследований и испытаний.
4. ГОСТ 8829-94. Изделия строительные железобетонные и бетонные заводского изготовления. Методы испытания нагрузением. Правила оценки прочности, жесткости и трещиностойкости.
5. ГОСТ 25192-82. Бетоны. Классификация и общие технические требования.
6. ВСН 32-89. Инструкция по определению грузоподъемности железобетонных пролетных строений эксплуатируемых автодорожных мостов.

ରୀବିଂ କେନ୍ଦ୍ର



დ 1.1. ხიდური გადახასვლელის სიტუაციური გეგძნა

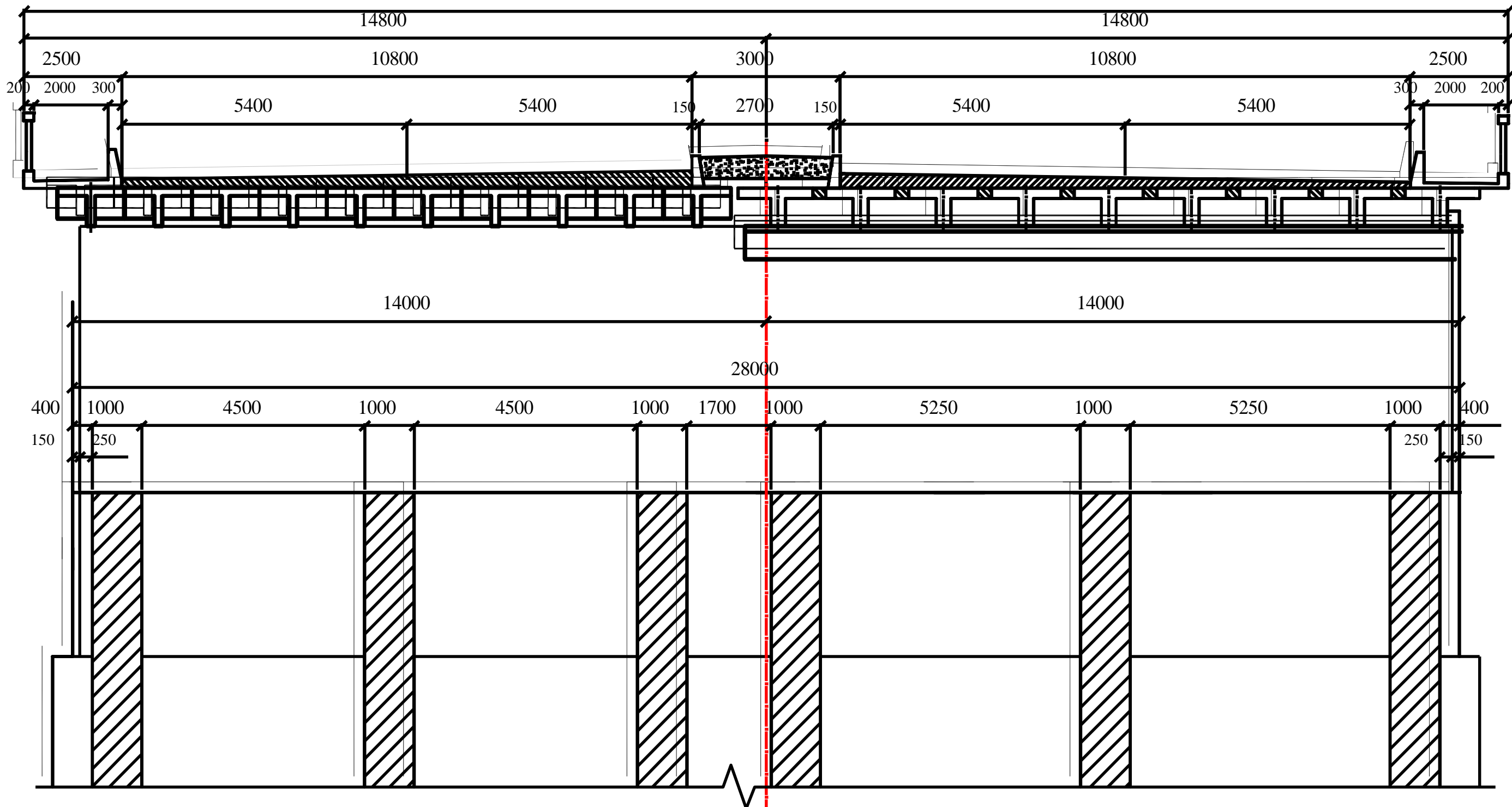


1. საბაზო ურთიერთობის მოცემულია გილიერდის მიხედვით, სოლი 60 მ უღებები გეტრენგში.

დ 12. ხილის საერთო ხედი

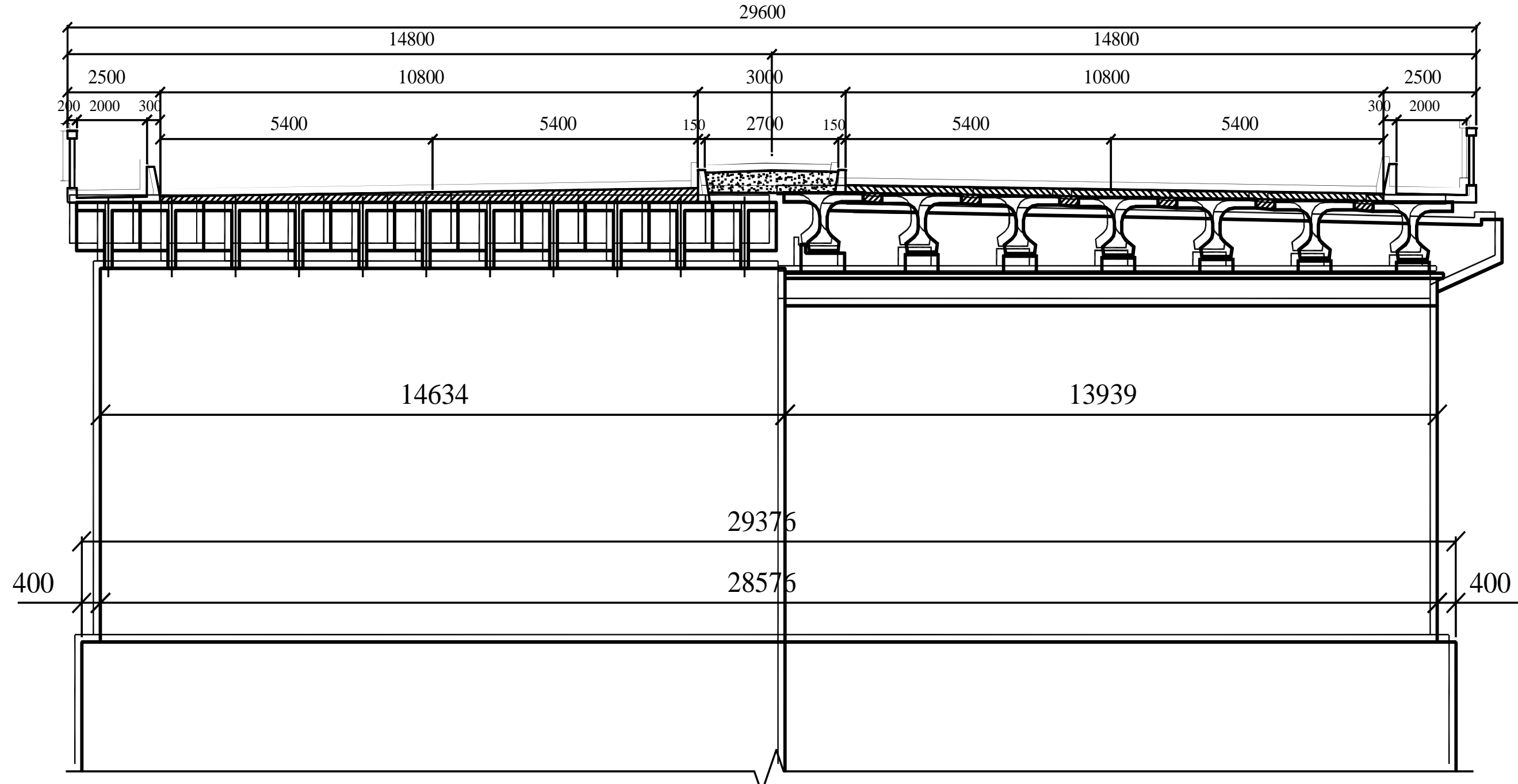
განვითარებული 1-1

29600



დოკუმენტი 1 - 1

განვითარებული 2-2



დ 1.4. განვითარებული 2 - 2



ფ 2.1. ხიდის საგადი ნაწილი



ფ 2.2. ხიდის საერთო ხედი მარცხენა ნაპირიდან



დ 2.3. არასტანდარტულად შეცვლილი მოაჯირის სექცია



დ 2.4. ნაკლული მოაჯირის პარაპეტი ქვემომხრის მაღის ნაშენებ



დ 2.5. კოროდირებული და ცუდად შეღებილი მოაჯირის ნაწილი



დ 2.6. ხედი გალის ნასენზე ქვემოდან



დ 2.7. კოროდირებული მუშა არმატურის დეროები



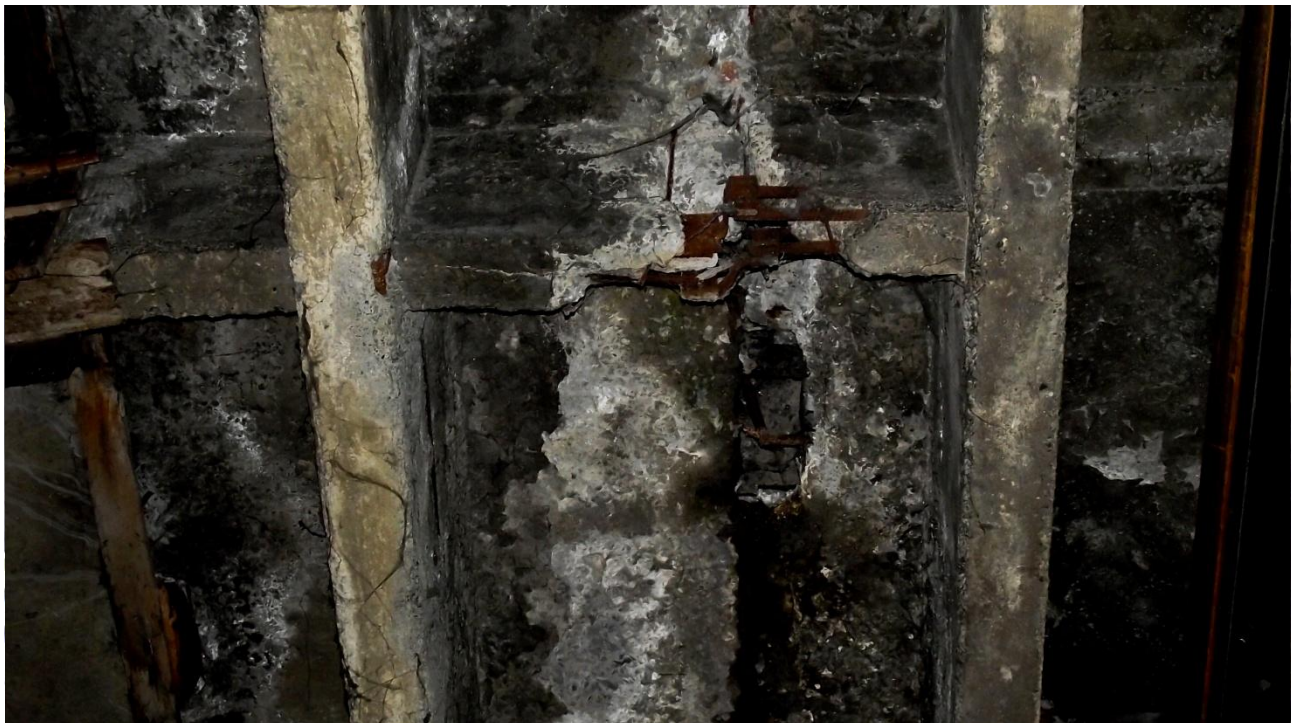
დ 2.8. დაზიანებული სანაპირო ბურჯის თავი



დ 2.9. დაზიანებული და კოროდირებული მალის ნაშენი და დიაფრაგმა



დ 2.10. დაზიანებული და კოროდირებული მალის ნაშენი და დიაფრაგმები



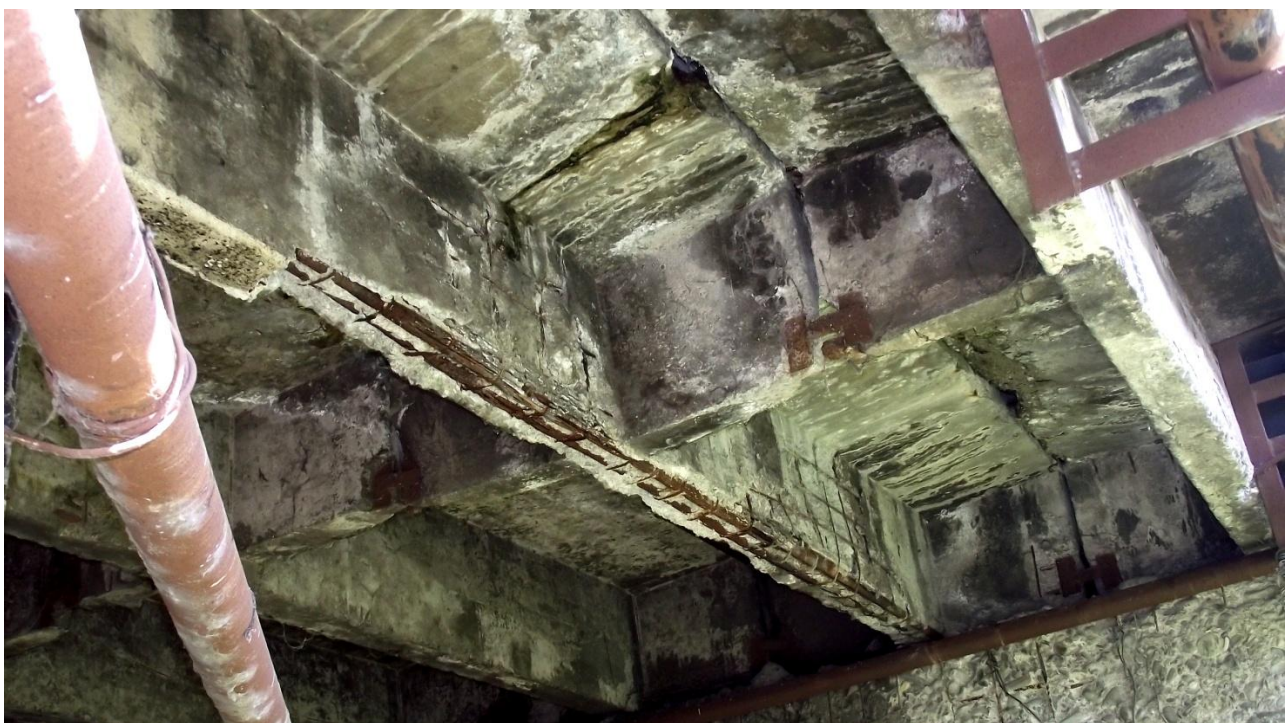
დ 2.11. დაზიანებული და კოროდირებული მალის ნაშენი და დიაფრაგმები



დ 2.12. დაზიანებული და კოროდირებული მალის ნაშენის კოჭის წიბო



დ 2.13. “ძველი” და “ახალი” მალის ნაშენები



დ 2.20. დაზიანებული მალის ნაშენის კონსტრუქცია



დ 2.21. გამოტუტვა “ახალი” მაღის ნაშენის გამონოლითების ნაკერში



დ 2.22. დაზიანებული და კოროდირებული დიაფრაგმა



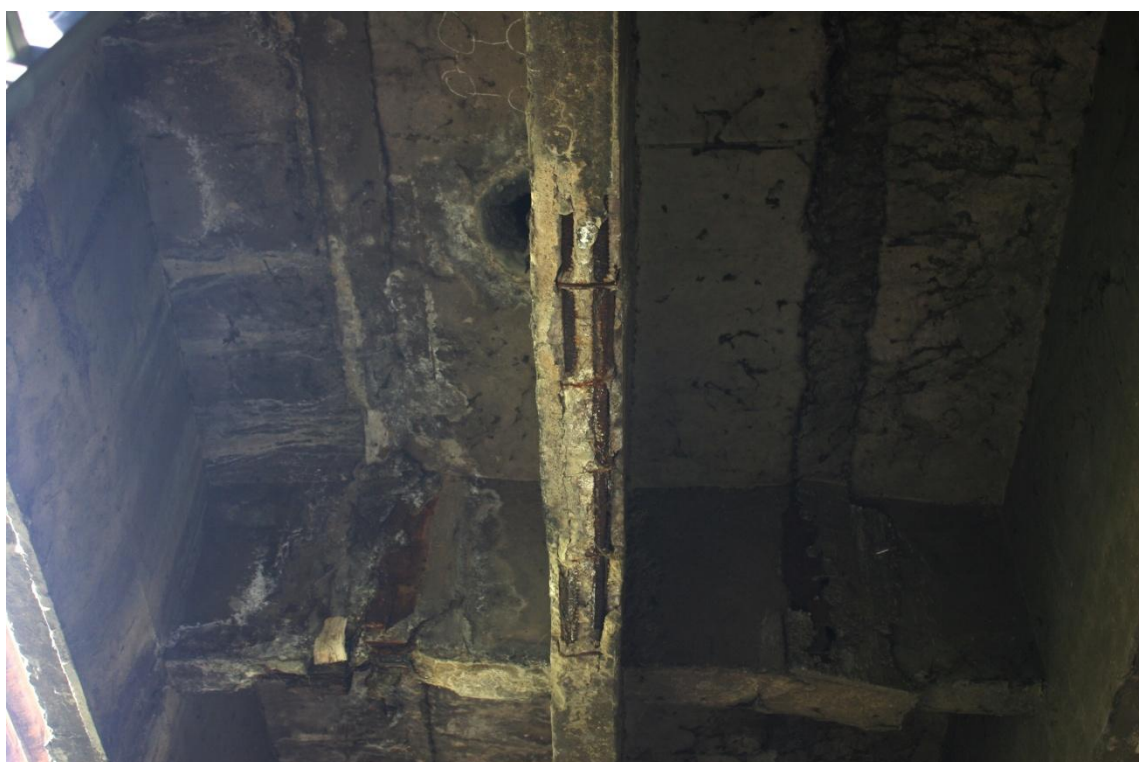
დ 2.23. დაზიანებები ზემომხრის მალის ნაშენის განაპირა კოწვი



დ 2.24. დაზიანებული და კოროდირებული კოჭის წიბო



დ 2.25. დაზიანებული და კოროდირებული კოჭების დიაფრაგმა და წიბო



დ 2.26. დაზიანებული კოჭის წიბო კოროდირებული მუშა არმატურით



დ 2.27. მოაჯირი და ზიანებული სამაგრით



დ 2.28. შუალედი ბურჯი შვეული ძნარით ბურჯის ტანში



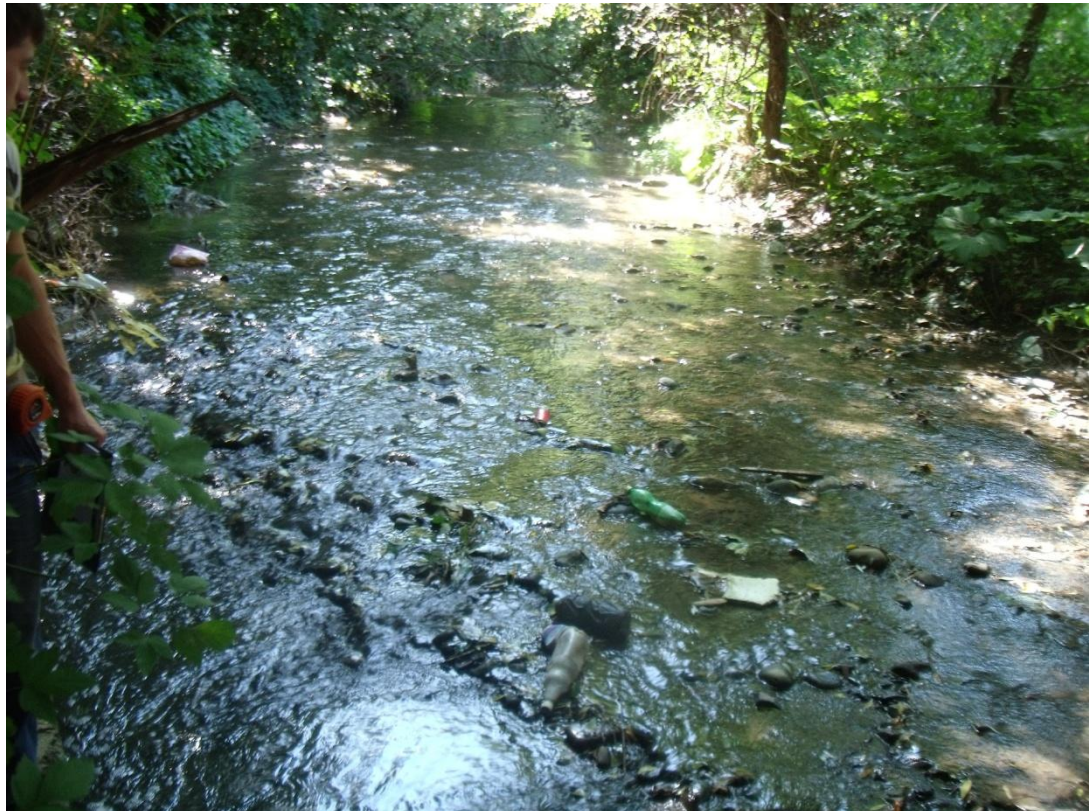
დ 2.29. მისახვდელი მიწაყრილის კონუსი



დ 2.30. ხიდქვეშა სიგრცე



დ 2.31. ნაპირდამცავ კუდელზე მიშვებული მდინარის ნაკადის ჭავლი
კალაპოტის ქვედა ბიეფში



დ 2.32. ხიდის კალაპოტის ზედა ბიეფი



დ 3.1. საცდელი დატვირთვა მცირე მაღაზი



დ 3.2. საცდელი დატვირთვა დიდ მაღაზი



ფ 4.1. ჩანალუნმზომები მცირე მალში



ფ 4.2. ჩანალუნმზომები დიდ მალში



დ 4.3. დინამიკური გამოცდის აპარატურის კომპლექსი მაღლი

